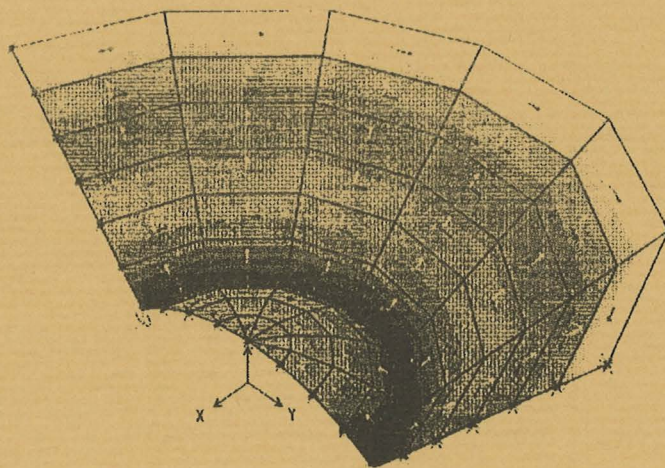


ANÁLISIS AVANZADO DE ESTRUCTURAS (y II)

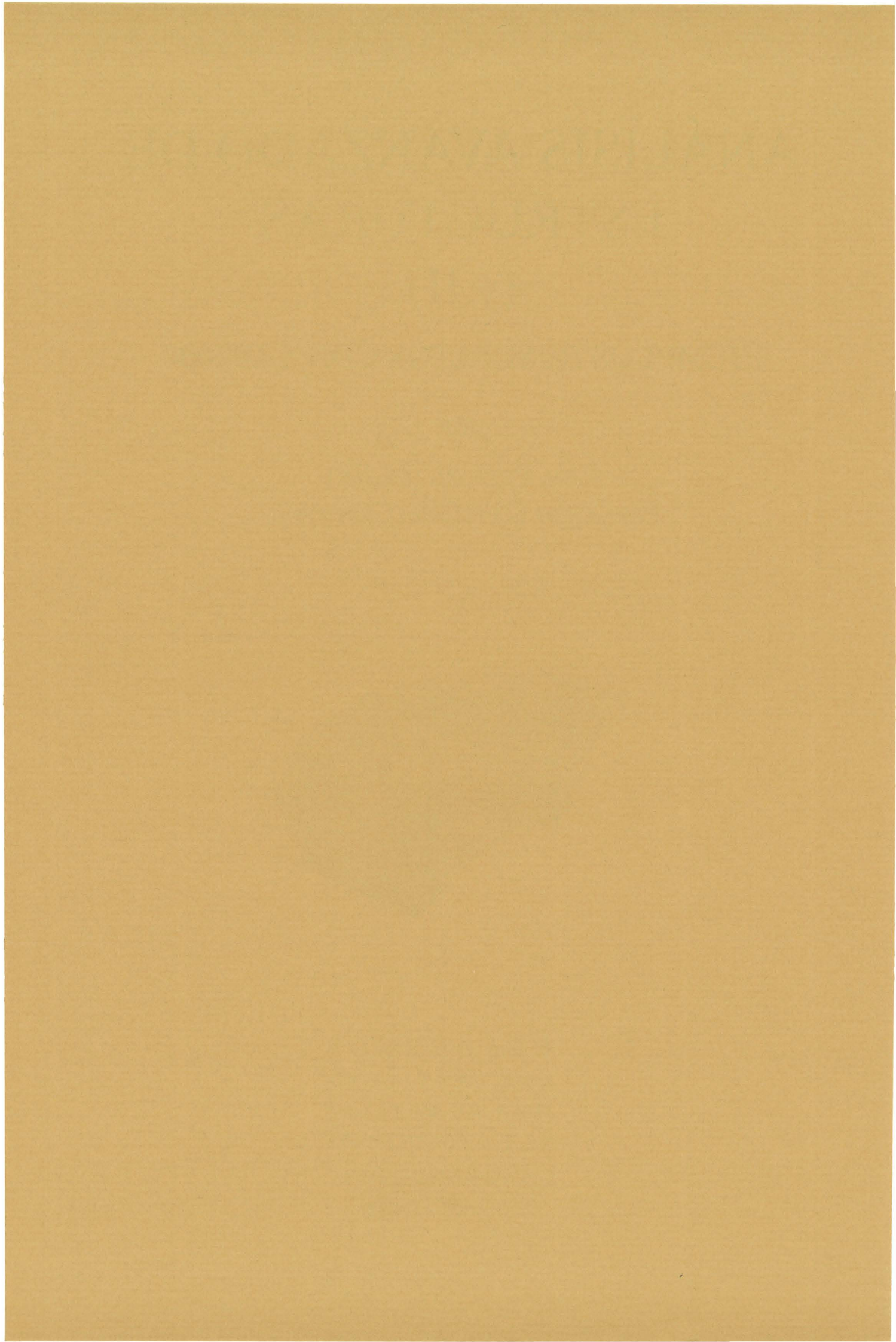
EJEMPLOS RESUELTOS CON SAP2000

por

LINA PUERTAS DEL RÍO
FERNANDO CASTAÑÓN CRISTÓBAL



CUADERNOS
DEL INSTITUTO
JUAN DE HERRERA
DE LA *ESCUELA DE*
ARQUITECTURA
DE MADRID



ANÁLISIS AVANZADO DE ESTRUCTURAS (y II)

EJEMPLOS RESUELTOS CON SAP2000

por

LINA PUERTAS DEL RÍO
FERNANDO CASTAÑÓN CRISTÓBAL

CUADERNOS
DEL INSTITUTO
JUAN DE HERRERA
DE LA *ESCUELA DE*
ARQUITECTURA
DE MADRID

Análisis avanzado de estructuras (II).

Ejemplos resueltos con SAP2000

© 2000 Lina Puertas del Río

© 2000 Fernando Castañón Cristóbal

Instituto Juan de Herrera.

Escuela Técnica Superior de Arquitectura de Madrid.

Composición y maquetación: Daniel Álvarez Morcillo.

CUADERNO 89.01

ISBN: 84-95365-63-4 (obra completa)

ISBN: 84-95365-62-6 (análisis avanzado de estructuras II)

Depósito Legal: M-45003-2000



Se presentan en estos dos cuadernos, algunos de los tipos estructurales analizados en la asignatura Cálculo de Estructuras III, durante los cursos académicos 1998-99 y 1999-00, en el semestre correspondiente a Análisis Avanzado de Estructuras.

En la mayor parte de estos ejemplos se presentan, de forma abreviada, los resultados obtenidos mediante un análisis manual del tipo estructural y los obtenidos mediante un análisis automático con un programa de elementos finitos, en este caso el programa SAP2000.

El objetivo pedagógico del presente trabajo pretende calibrar el grado de precisión de las diferentes herramientas a nuestro alcance, teniendo en cuenta las simplificaciones que normalmente se emplean en un análisis manual, y también el hecho de que no siempre son coincidentes en ambos análisis los parámetros de comportamiento del material, caso del análisis plástico.

Es evidente que para alguno de los ejemplos propuestos, un análisis con un programa de elementos finitos puede ser exagerado, situándose en el caso opuesto aquellos que por su extensión y complejidad en el grado de definición, requieren el empleo de una herramienta de este tipo para obtener una respuesta suficientemente precisa.

En un ámbito intermedio se sitúan aquellos casos en que un análisis manual predice claramente el comportamiento estructural del modelo, y un análisis automático permite completar y ajustar valores en zonas o elementos locales, permitiendo comprobar la corrección del dimensionado y las condiciones de vinculación.

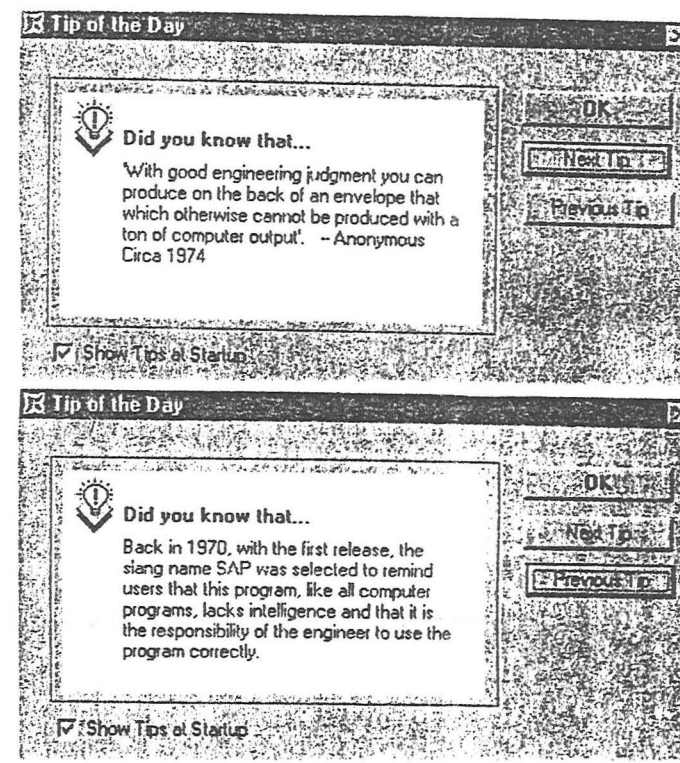
El uso de un programa de elementos finitos para el análisis de estructuras, no solo no exime de un conocimiento teórico y práctico del comportamiento estructural sino que exige del proyectista los conocimientos suficientes para interpretar correctamente los resultados y corregir los errores de diseño y dimensionado si los hubiese.

La herramienta específica que se maneja, el programa SAP2000, es uno de los programas existentes de mayor accesibilidad para su manejo completo por parte del usuario, incluso sin experiencia previa en este tipo de programas. Casi todos los ejemplos se han realizado con la versión educativa 6.06 de capacidad de procesamiento de 100 nudos, utilizando en otros la versión educativa 7.10 con capacidad de 30 nudos.

En la ejecución de estos ejemplos, han colaborado los alumnos:

Raul GASCON
Pedro TERRON
M^a Carmen MORENO DE VEGA y
Ricardo GARCIA

sobre las propuestas de los profesores
Lina PUERTAS y Fernando CASTAÑON.



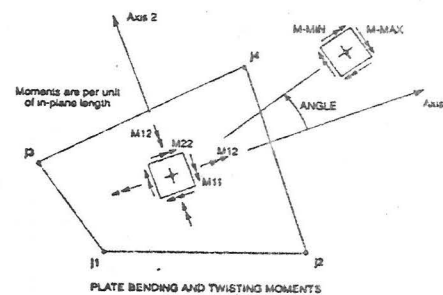
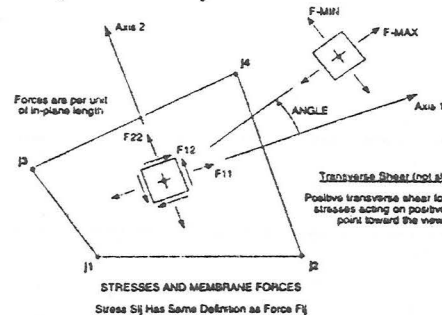
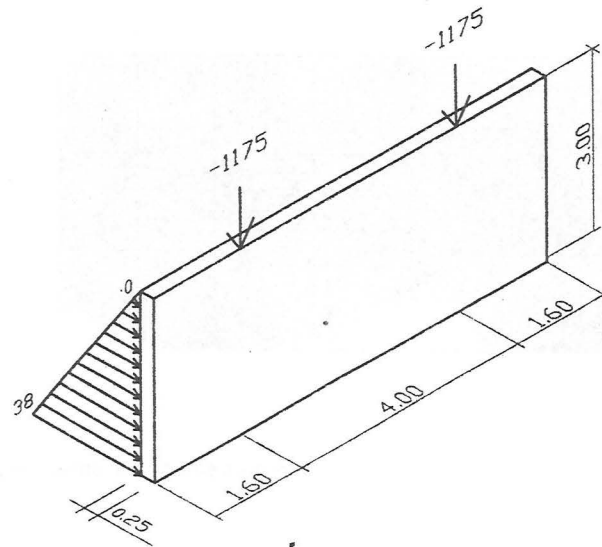


CUADERNO 1º:

- 1 – Viga de celosía espacial.
- 2 – Emparrillado de pirámide cuadrada.
- 3 – Emparrillado de pirámide cuadrada en diagonal.
- 5 – Emparrillado de cerchas. Canto constante.
- 6 – Emparrillado de vigas de perfiles laminados.
- 6b– Emparrillado de vigas de hormigón armado.
- 7 – Pórtico con arco.
- 8 – Pórtico con cables.
- 9 – Marquesina.

CUADERNO 2º:

- 10– Viga pared
- 11– Placa circular
- 12– Placa con apoyo en el contorno.
- 13– Placa con apoyo en las esquinas.
- 14– Placa sobre pilares.
- 15– Lámina de revolución. Depósito.
- 16– Lámina cicloide.
- 18– Cúpula
- 20– P-delta



Aposos:

Se analizará de forma separada para dos estados de apoyo :

1º Previo a la construcción del forjado en cabeza del muro.

2º Después de la construcción del forjado.

Apoyos inferiores: Empotramientos. (Casos 1º y 2º)

Apoyos laterales: (U1,0,0,0,0,R3). (Casos 1º y 2º)

Apoyos superiores: (0,U2,0,0,0,0). (Caso 2º)

Cargas:

Estado 1: Dos cargas verticales puntuales de -1175 KN

Estado 2: Empuje horizontal perpendicular a la superficie
desde 0 a 38 KN/m2

VIGA PARED

1. COMPROBAR CONFIGURACIÓN REGIONAL.

2. ENTRAR PROGRAMA SAP 2000 EDUCATIONAL.

3. ELEGIR UNIDADES.

4. ABRIR ARCHIVO NUEVO.

file

new model from template

shear wall

number of spaces along x 8

number of spaces along z 3

space width along x 1

space width along z 1

5. GEOMETRÍA DE LA ESTRUCTURA.

draw

edit grid

glue joints to grid lines

Comprobar que *lock grid lines* y *snap to grid lines* están desactivados.

direction x

move grid line

Cambiamos la coordenada x de -4, -3, 3, 4, a los valores -3.6, -2.8, 2.8, 3.6

6. CONDICIONES DE APOYO.

assign joint restraints

7. MATERIAL.

define materials

concrete

weight per unit volume

modulus of elasticity

poisson's ratio

8. SECCIONES.

define

shell sections

thickness

membrane 0.25

bending 0.25

type

shell

9. ESTADOS DE CARGA.

define

static load cases

load 1 (cargas puntuales)

self weight multiplier 1

load 2 (empuje)

self weight multiplier 1

define

joint patterns

assign joint loading

(caso de carga 1: cargas puntuales)

select all

assign joint patterns

constant C -12.66

constant D 38

Para más información *help search*

assign joint patterns.

select all

assign shell static loads

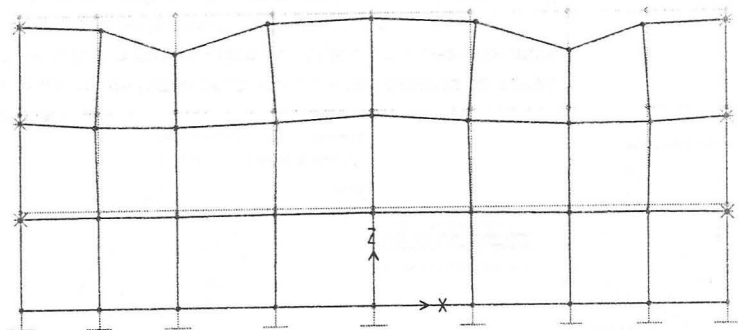
pressure

by joint pattern -1

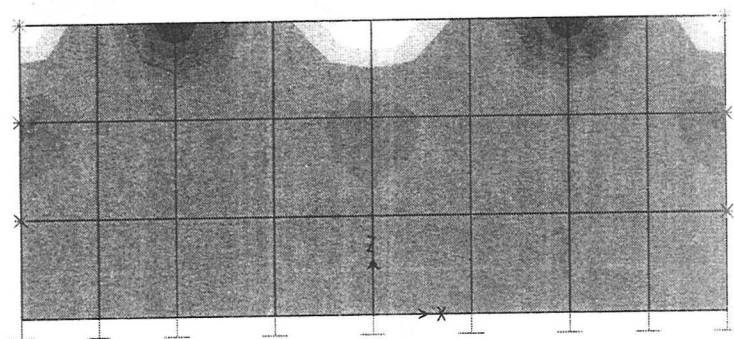
(caso de carga 2 : empuje)

10. ANALISIS.

run analysis

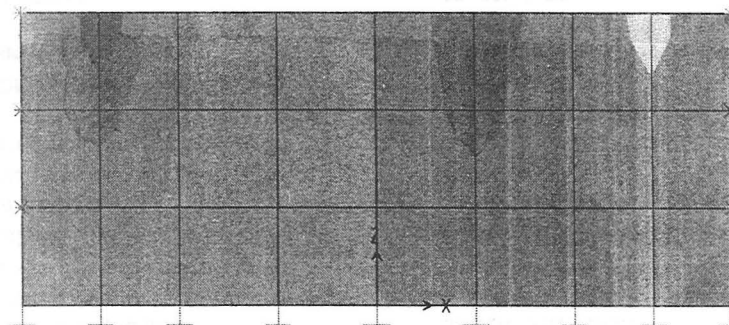


Deformada. m. (Carga vertical)



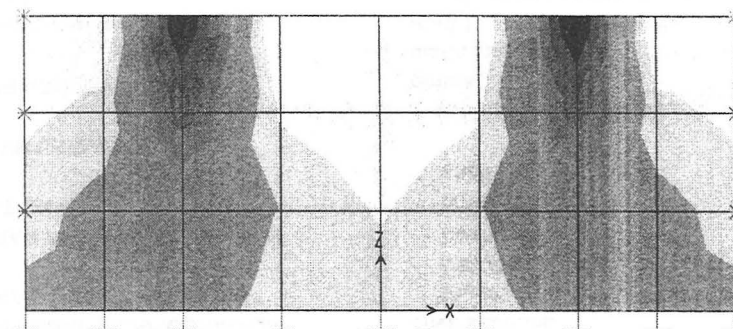
-400. -320. -240. -160. -80. 0. 80. 160. 240.

F 1-1. Kn / m. (Carga vertical)



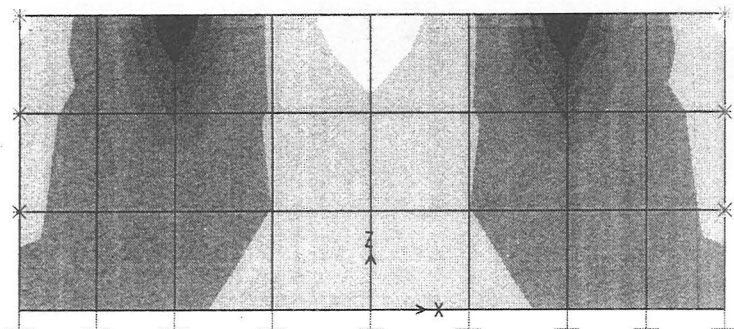
-520. -390. -260. -130. 0. 130. 260. 390. 520.

F 1-2. Kn / m. (Carga vertical)



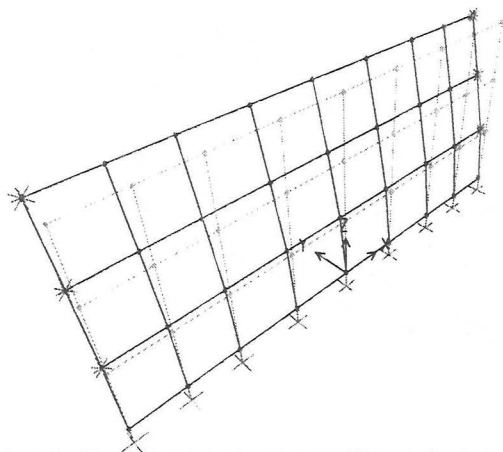
-1.28 -1.12 -0.96 -0.80 -0.64 -0.48 -0.32 -0.16 0.00 E+3

F 2-2. Kn / m. (Carga vertical)

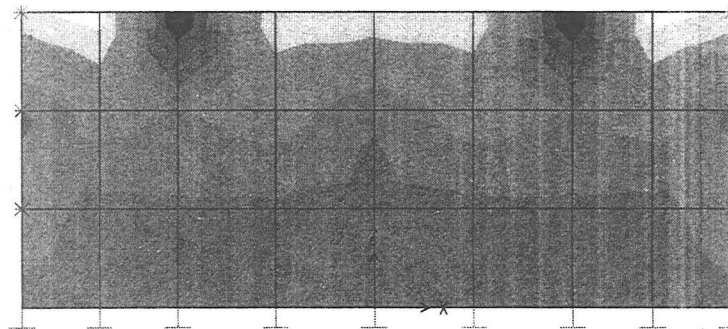


-1.36 -1.19 -1.02 -0.85 -0.68 -0.51 -0.34 -0.17 0.00 E+3

F.MIN (dirección ppal). Kn / m. (Carga vertical)

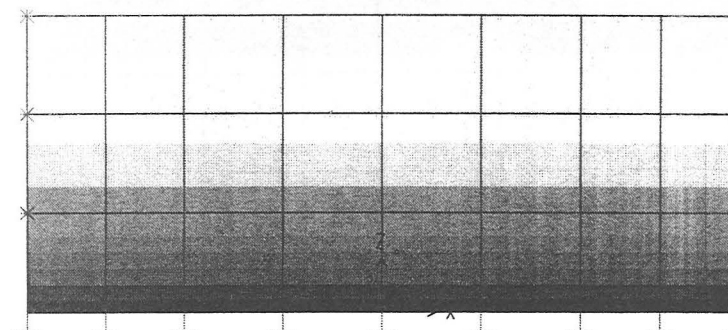


Deformada. m. (Empuje)



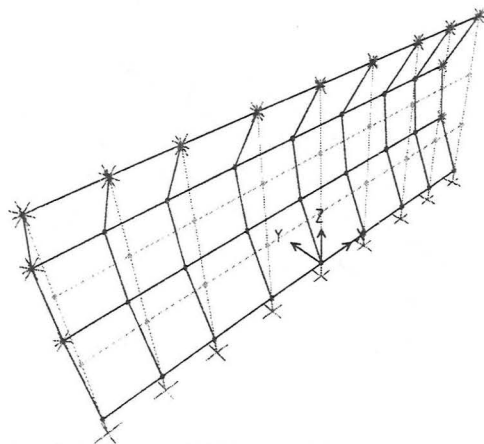
-270. -180. -90. 0. 90. 180. 270. 360. 450.

F.MAX (dirección ppal). Kn / m. (Carga vertical)

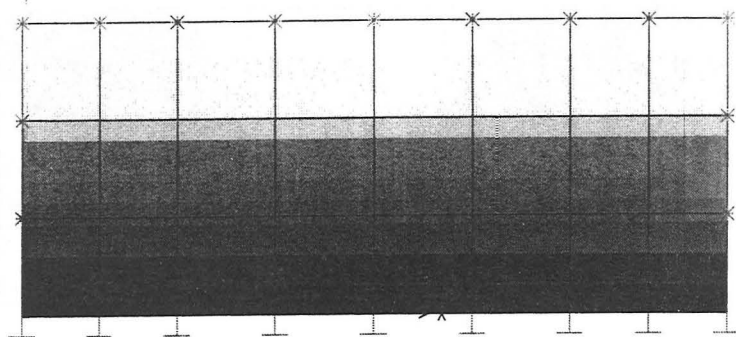


-52.0 -45.5 -39.0 -32.5 -26.0 -19.5 -13.0 -6.5 0.0

M 2-2. Kn / m. (Empuje)

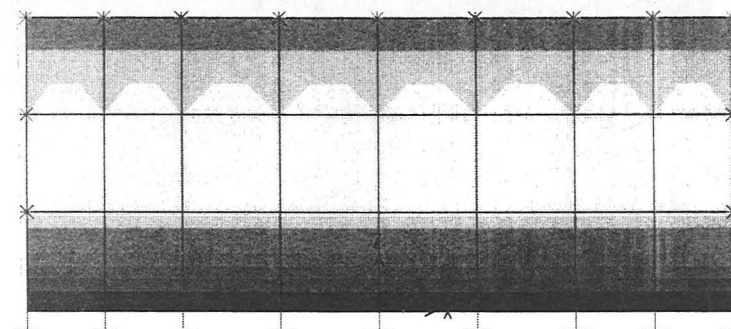


Deformada. m. (Empuje con apoyo en cabeza)



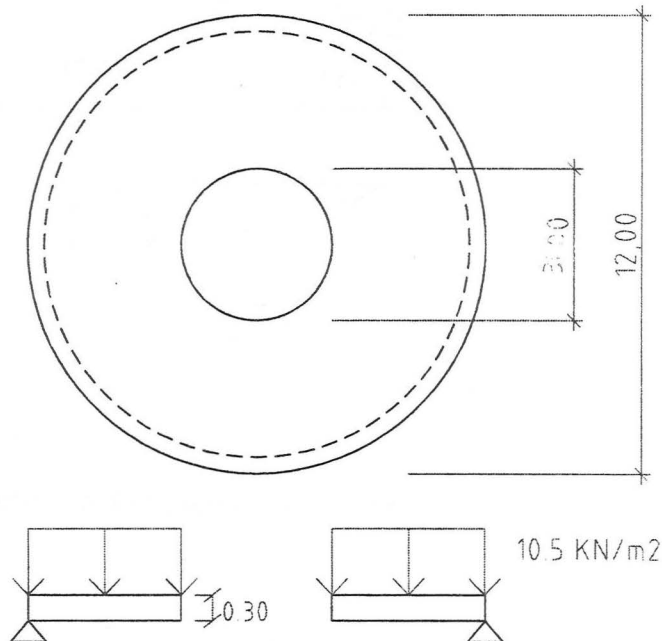
-24.0 -20.0 -16.0 -12.0 -8.0 -4.0 0.0 4.0 8.0

V 2-3. Kn / m. (Empuje con apoyo en cabeza)



-17.5 -14.0 -10.5 -7.0 -3.5 0.0 3.5 7.0 10.5

M 2-2. Kn / m. (Empuje con apoyo en cabeza)



Apoyos:

Apoyos : (0,0,U3)

Cargas:

Sobrecarga : 3KN/m²

Peso propio : densidad del hormigón: 25 KN/m³ x 7.5 KN/m

PLACA CIRCULAR

1. COMPROBAR CONFIGURACIÓN REGIONAL.

2. ENTRAR PROGRAMA SAP 2000 EDUCACIONAL.

3. ELEGIR UNIDADES.

4. ABRIR ARCHIVO NUEVO.

file

new model

cylindrical

number of grid spaces

x direction 4

y direction 12

z direction 1

grid spacing

x direction 1.5

y direction 30

z direction 1

5. GEOMETRÍA DE LA ESTRUCTURA.

quick draw shell element

(Con esta orden se definen rápidamente los elementos si la red está en planta (plano xy) ya que esta orden no se acepta si la red está en perspectiva. Si es así, puede emplearse draw shell element.)

Debido a la simetría, es opcional de cada alumno definir un cuarto, la mitad, o toda la estructura; la única variación será determinar las condiciones de simetría.

Definimos todos los elementos (48), en los cuales los grados de libertad considerados en el cálculo son la flecha y los giros según los ejes contenidos en el plano de la placa.

Para ubicar el patio central deberemos borrar los elementos que sean necesarios (12).

5.1. BORRAR ELEMENTOS YA DEFINIDOS.

seleccionamos elementos

edit

delete

refresh window

6. CONDICIONES DE APOYO.

seleccionamos apoyo (click sobre el nudo)

assign joint restraints

translation 3 en todos los apoyos
apoyos puntuales.(apoyos simples en la direccion z).

7. MATERIAL.

define materials concrete

modulus of elasticity

poisson's ratio

8. SECCIONES.

assign

shell sections

thickness :

membrane 0.30

bending 0.30

type :

plate

Si es necesario dar nombre a la sección.

9. ESTADOS DE CARGA.

Si la carga es continua en toda la estructura y de la misma dirección, existen dos posibilidades de asignarla. Una como multiplicador del peso propio:

define

static load cases

load 1

self weight multiplier 1.4

$0.3 \times 25 = 7.5$ $7.5 + 3 = 10.5$

$10.5 / 7.5 = 1.4$

Otra como carga uniforme:

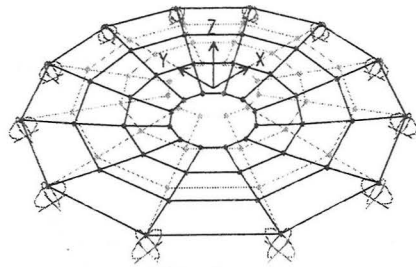
assign shell uniform loading

Z :-10.5

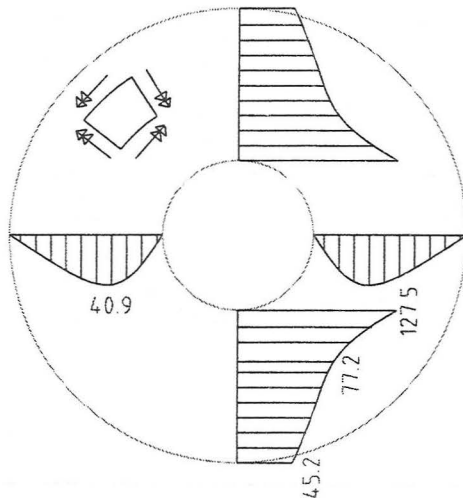
add to existing load

10. ANALISIS.

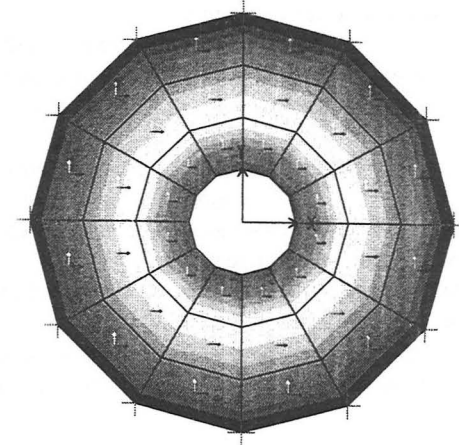
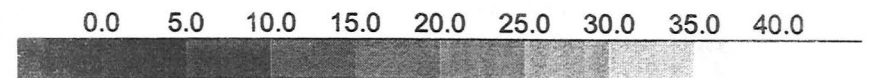
run analysis



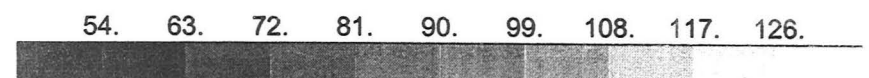
Deformed Shape (LOAD1) - KN-m Units



Resultant MMIN Diagram (LOAD1) - KN

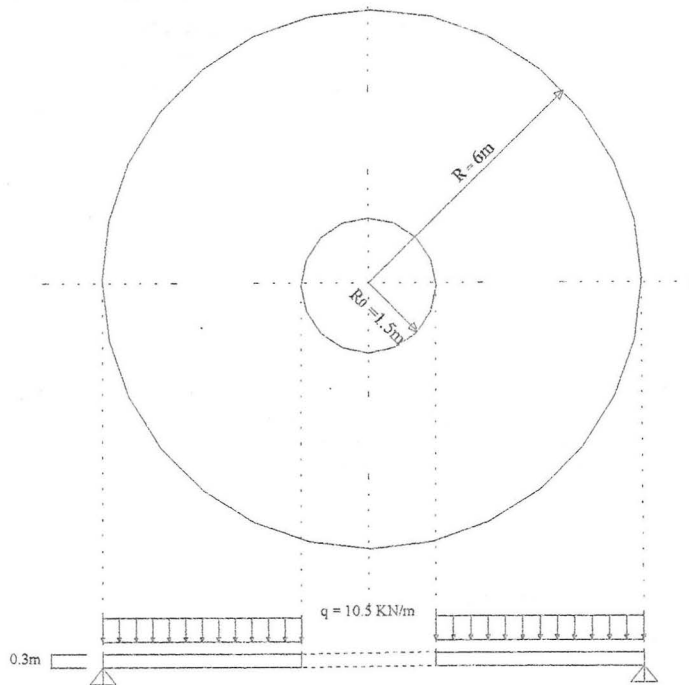


Resultant MMAX Diagram (LOAD1) - K





CALCULO MANUAL



Se parte de la hipótesis del módulo de Poisson $\nu=0$, aproximación a lo que ocurre con el hormigón armado, lo cual significa una simplificación para poder analizar, mediante cálculo elástico, casi cualquier tipo de placa con tal de que su forma y carga sean simétricas respecto del eje.

Condiciones de contorno.

Cuando $r = R_0$, $M_r = 0$

Cuando $r = R$, $M_r = 0$; $\varphi = 0$

Análisis del problema.

Analizaremos la estructura calculando:

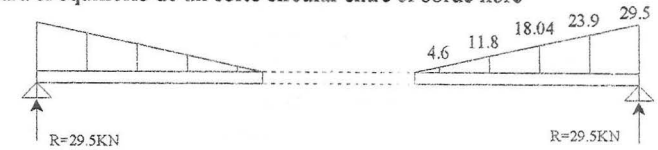
a. las solicitaciones de la estructura debidas a cortante y a ambos momentos, resuelto a partir de las condiciones de equilibrio y compatibilidad (en cálculo elástico) en que son direcciones principales en cada punto los ejes de referencia.

b. Una vez conocidas las solicitaciones se calculará la deformada, obteniendo así la flecha.

a. SOLICITACIONES.

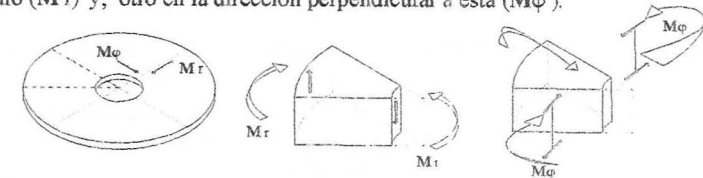
Cortantes. Para obtener los valores de los cortantes en la placa se planteará el equilibrio de un corte circular entre el borde libre y la circunferencia de radio r :

$$T_r = \pi \frac{(r^2 - R_0^2)}{2\pi r} q = \frac{q r}{2} - \frac{q R_0^2}{2 r}$$



Momentos. Aparecerán dos momentos: uno en la dirección del radio (M_r) y, otro en la dirección perpendicular a ésta (M_ϕ).

$$\begin{aligned} M_r &= D \left[\frac{d\varphi}{dr} + \nu \frac{\varphi}{r} \right] \\ M_\phi &= D \left[\frac{\varphi}{r} + \nu \frac{d\varphi}{dr} \right] \end{aligned} \quad \left| \quad \nu=0 \rightarrow \begin{aligned} M_r &= D \frac{d\varphi}{dr} \\ M_\phi &= D \frac{\varphi}{r} \end{aligned} \right.$$



Ecuación del giro. φr

$$\frac{1}{r} \frac{d}{dr} (\varphi r) = \int -\frac{T}{D} dr = -\frac{q}{2D} \left(r - \frac{R_0^2}{r} \right) dr = -\frac{q}{2D} \left(\frac{r^2}{2} - R_0^2 \ln r \right) + C_1$$

$$(\varphi r) = \int \left[-\frac{q}{2D} \left(\frac{r^2}{2} - R_0^2 \ln r \right) + C_1 \right] r dr + C_2 = -\frac{q}{2D} \left[\frac{r^4}{8} - R_0^2 \left(\ln r - \frac{1}{2} \right) \frac{r^2}{2} \right] + C_1 \frac{r^2}{2} + C_2$$

$$(\varphi r) = -\frac{q}{4D} \left[\frac{r^4}{4} - R_0^2 \left(\ln r - \frac{1}{2} \right) \right] + C_1 \frac{r^2}{2} + C_2 \frac{1}{r} \quad \text{volviendo a las ecuaciones de momentos tenemos que:}$$

$$M_r = D \frac{d\varphi}{dr} = D \cdot \left(-\frac{q}{4D} \right) \left[\frac{3r^2}{4} - R_0^2 \left(\ln r - \frac{1}{2} \right) - R_0^2 r \frac{1}{r} \right] + C_1 \frac{D}{2} - C_2 \frac{D}{r^2}$$

Hallamos las constantes C_1 y C_2 :

$$\begin{aligned} \text{Para } r = 1.5 \quad M_r = 0 &= -4.43 + 2.39 + 1.125 + (C_1 D/2) - (C_2 D/2.25) \\ \text{Para } r = 6 \quad M_r = 0 &= -70.9 + 10.75 + 1.125 + (C_1 D/2) - (C_2 D/36) \end{aligned} \quad \left| \quad \begin{aligned} C_1 &= 126/D \\ C_2 &= 140/D \end{aligned} \right.$$

por tanto M_r y M_ϕ serán:

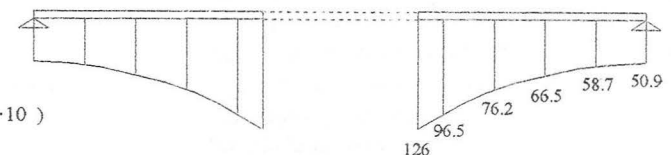
$$M_r = D \cdot \left(-\frac{10.5}{4D} \right) \left[\frac{3r^2}{4} - 1.5^2 \left(\ln r - \frac{1}{2} \right) - 1.5^2 \right] + \frac{126}{2} - \frac{140}{r^2}$$

$$M_\phi = D \frac{\varphi}{r} = D \cdot \left(-\frac{q}{4D} \right) \left[\frac{r^2}{4} - R_0^2 \left(\ln r - \frac{1}{2} \right) \right] + \frac{C_1}{2} + \frac{C_2}{r^2} = \left(-\frac{10.5}{4} \right) \left[\frac{r^2}{4} - 1.5^2 \left(\ln r - \frac{1}{2} \right) \right] + \frac{126}{2} - \frac{140}{r^2}$$

Diagrama M_r (KN · m / m)



Diagrama M_ϕ (KN · m / m)



$$\left(\text{conocido el valor } D = \frac{1 \cdot h^3}{12} \cdot \frac{E}{(1-\nu^2)} = \frac{0.3^3}{12} \cdot \frac{2 \cdot 10^7 (\text{m}^3 \cdot \text{KN/m}^2)}{(1-0)} = 0.0045 \cdot 10^7 \right)$$

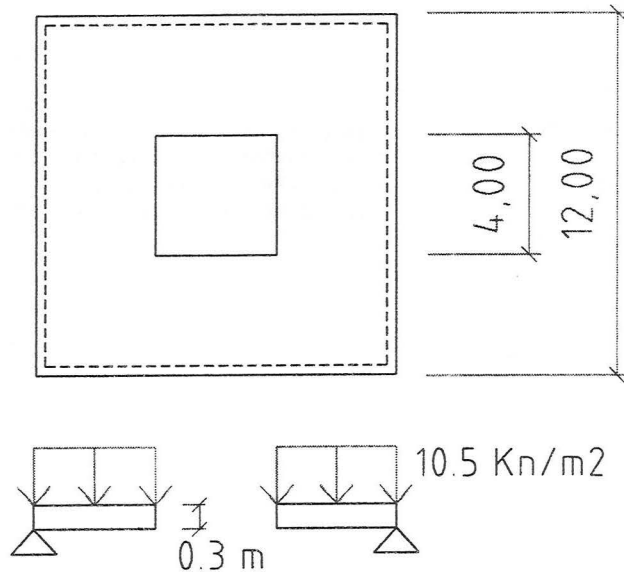
b. FLECHA.

$$w = -\int \varphi dr + C_3 = -\int \left(-\frac{q}{4D} \left[\frac{r^3}{4} - R_0^2 \left(\ln r - \frac{1}{2} \right) \right] + C_1 \frac{r}{2} + C_2 \frac{1}{r} \right) dr = \int \left[\frac{q}{4D} \left(\frac{r^3}{4} - R_0^2 \ln r + R_0^2 \frac{1}{2} \right) + C_1 \frac{r}{2} + C_2 \frac{1}{r} \right] dr =$$

$$= \frac{q}{4D} \left[\frac{r^4}{16} - R_0^2 \frac{r^2}{2} \left(\ln r - \frac{1}{2} \right) + R_0^2 \frac{1}{2} \frac{r^2}{2} \right] + C_1 \frac{r^2}{2} + C_2 \ln r + C_3 \quad \text{sabiendo que: para } r=6 \rightarrow w_6 = 0, \text{ hallamos la incógnita } C_3$$

$$0 = \frac{10.5}{4D} \left[\frac{6^4}{16} - 1.5^2 \frac{6^2}{2} \left(\ln 6 - \frac{1}{2} \right) + 1.5^2 \frac{6^2}{2} \right] + \frac{126}{D} \frac{6^2}{2} + \frac{140}{D} \ln 6 + C_3 \rightarrow C_3 = 1513.3 / D$$

$$w_{(0.5)} = -\frac{10.5}{4D} \left[\frac{1.5^4}{16} - 1.5^2 \frac{1.5^2}{2} \left(\ln 1.5 - \frac{1}{2} \right) + 1.5^2 \frac{1.5^2}{2} \right] + \frac{126}{D} \frac{1.5^2}{2} + \frac{140}{D} \ln 6 + \frac{1513.3}{D} = -1380.57 / D = -1380.57 / 45e3 = -0.0307 \text{ m} = -3.07 \text{ cm}$$



Apoyos:

Apoyos : (0,0,U3)

Nudos del eje de simetría : (0,U2,0,R1,0,0)

Cargas:

Sobrecarga : 3KN/m2

Peso propio : peso específico del hormigón: 25 KN/m3

PLACA CON APOYO EN EL CONTORNO

1. COMPROBAR CONFIGURACIÓN REGIONAL.

2. ENTRAR PROGRAMA SAP 2000 EDUCATIONAL.

3. ELEGIR UNIDADES.

4. ABRIR ARCHIVO NUEVO.

file

new model

cartesian

number of grid spaces

x direction 6

y direction 6

z direction 1

grid spacing

x direction 2

y direction 2

z direction 1

5. GEOMETRÍA DE LA ESTRUCTURA.

quick draw shell element

Definimos todos los elementos de placa (36), en los cuales los grados de libertad considerados en el cálculo son la flecha y los giros según los ejes considerados en el plano de la placa.

6. BORRAR ELEMENTOS YA DEFINIDOS.

Seleccionamos elementos

edit

delete

refresh window

Representación de ejes locales:

set element

shell

local axes

7. CONDICIONES DE APOYO.

assign joint restraints

translation 3 , en apoyos

Existe un muro perimetral en toda la placa en cuyas intersecciones con la red geométrica deberán definirse nudos como apoyos puntuales (apoyos simples). Correspondiendo el plano de la placa a los ejes coordenados xy, los apoyos tienen la dirección z.

8. MATERIAL.

define materials concrete

weight per unit volume

modulus of elasticity

poisson's ratio

9. SECCIONES.

assign

shell sections

thickness

membrane 0.3

bending 0.3

type

plate

10. ESTADOS DE CARGA.

define

static load cases

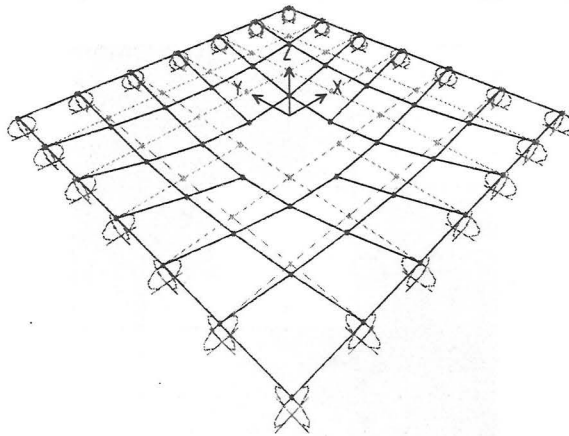
load 1

self weight multiplier 1.4

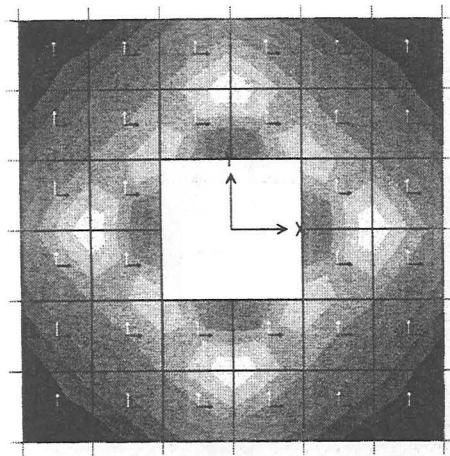
$0.3 \times 25 = 7.5 + 3 = 10.5 / 7.5 = 1.4$

11. ANALISIS.

run analysis

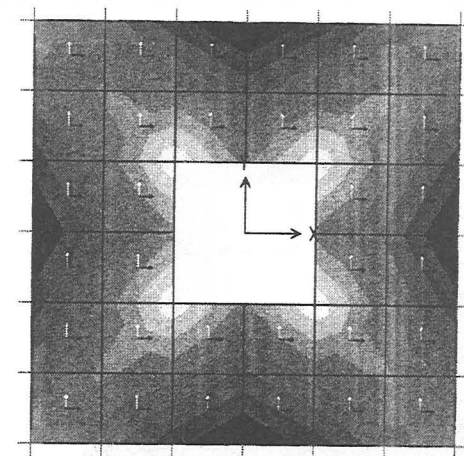


Deformada



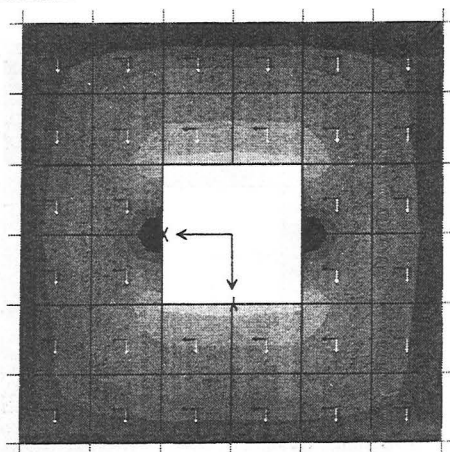
-45.0 -36.0 -27.0 -18.0 -9.0 0.0 9.0 18.0 27.0

Resultant MMIN Diagram (LOAD1) - KN



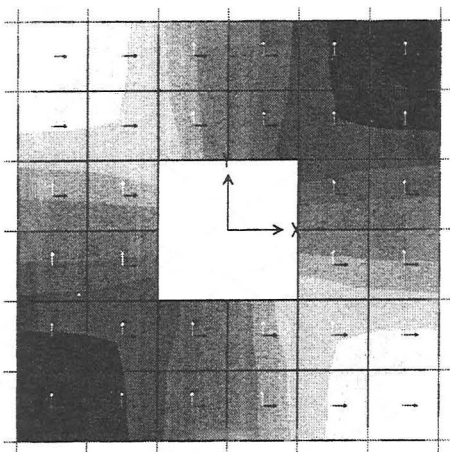
10.0 20.0 30.0 40.0 50.0 60.0 70.0 80.0 90.0

Resultant MMAX Diagram (LOAD1) - K



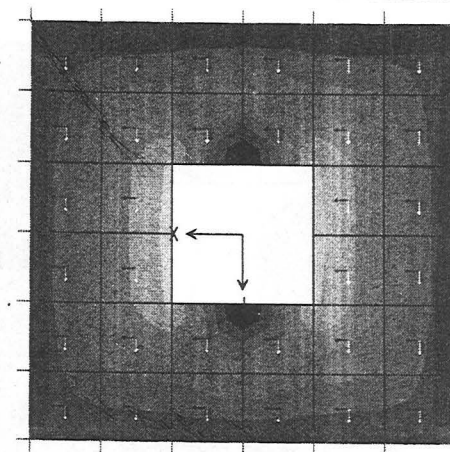
-10.0 0.0 10.0 20.0 30.0 40.0 50.0 60.0 70.0

Resultant M11 Diagram (LOAD1) - KN-



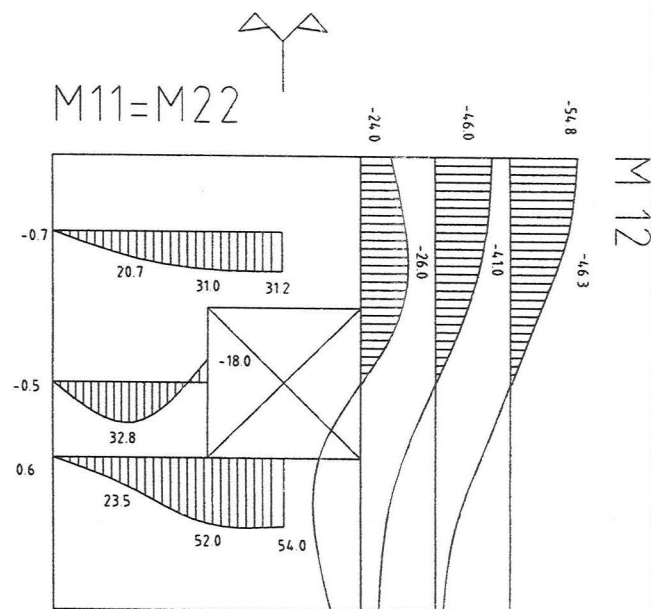
-44.0 -33.0 -22.0 -11.0 0.0 11.0 22.0 33.0 44.0

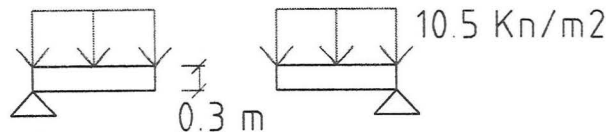
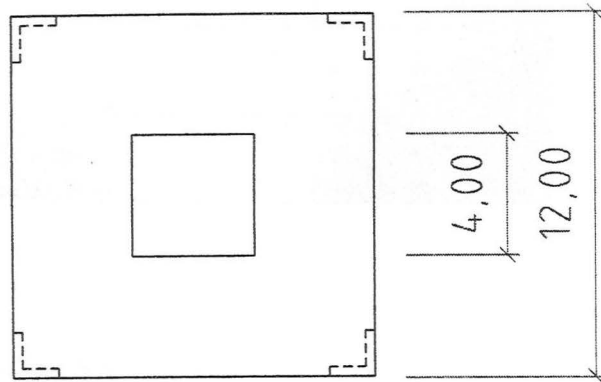
Resultant M12 Diagram (LOAD1) - KN-



-10.0 0.0 10.0 20.0 30.0 40.0 50.0 60.0 70.0

Resultant M22 Diagram (LOAD1) - KN-





Apoyos:

Apoyos : (0,0,U3)

Nudos del eje de simetría : (0,U2,0,R1,0,0)

Cargas:

Sobrecarga : 3KN/m2

Peso propio : densidad del hormigón: 25KN/m3

PLACA CON APOYO EN LAS ESQUINAS.

1. COMPROBAR CONFIGURACIÓN REGIONAL.

2. ENTRAR PROGRAMA SAP 2000 EDUCACIONAL.

3. ELEGIR UNIDADES.

4. ABRIR ARCHIVO NUEVO.

file

new model

cartesian

number of grid spaces

x direction 8

y direction 4

z direction 1

grid spacing

x direction 1.5

y direction 1.5

z direction 1

4.1 MODIFICAR LA RED

draw

edit grid

x direction 2, -2

add grid line

y direction -1

5. GEOMETRÍA DE LA ESTRUCTURA.

quick draw shell element

Definimos todos los elementos de placa (36), en los cuales los grados de libertad considerados en el cálculo son la flecha y los giros según los ejes considerados en el plano de la placa.

5.1. BORRAR ELEMENTOS YA DEFINIDOS.

seleccionamos elementos

edit

delete

refresh window

es importantísimo mantener siempre la representación de los ejes locales:

set element

shell

local axes

6. CONDICIONES DE APOYO.

seleccionamos apoyo (click sobre el nudo)

assign joint restraints

translation 3, en apoyos

Existe un muro perimetral en toda la placa en cuyas intersecciones con la red geométrica deberán definirse nudos como apoyos puntuales (apoyos simples.)

Correspondiendo el plano de la placa a los ejes coordenados xy, los apoyos tienen la dirección z.

7. MATERIAL.

define materials concrete

modulus of elasticity

poisson's ratio

8. SECCIONES.

assign

shell sections

thickness

membrane 0.30

bending 0.30

type

plate

Si es necesario, dar nombre a la sección.

9. ESTADOS DE CARGA.

define

static load cases

load 1

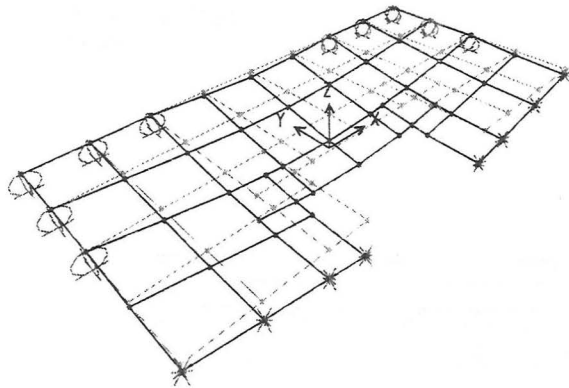
self weight multiplier 1.4

3*25=7.5 7.5+3=10.5

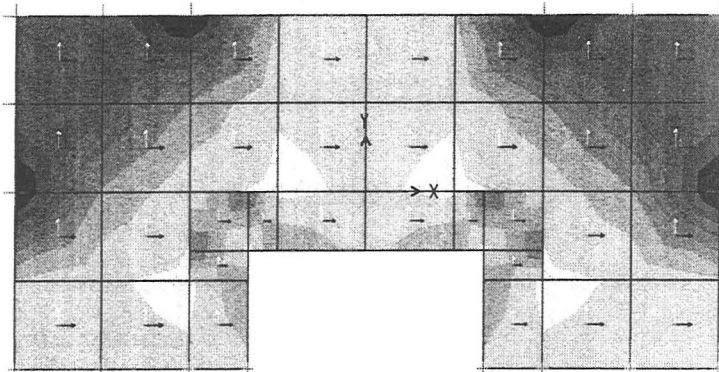
10.5/7.5=1.4

10. ANALISIS.

run analysis

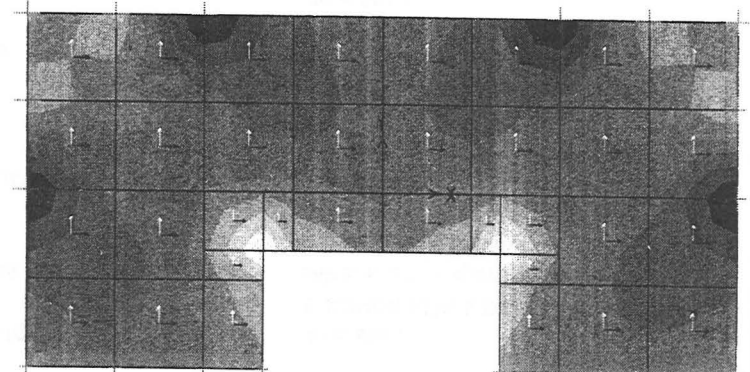


Deformed Shape (LOAD1) - KN-m Units



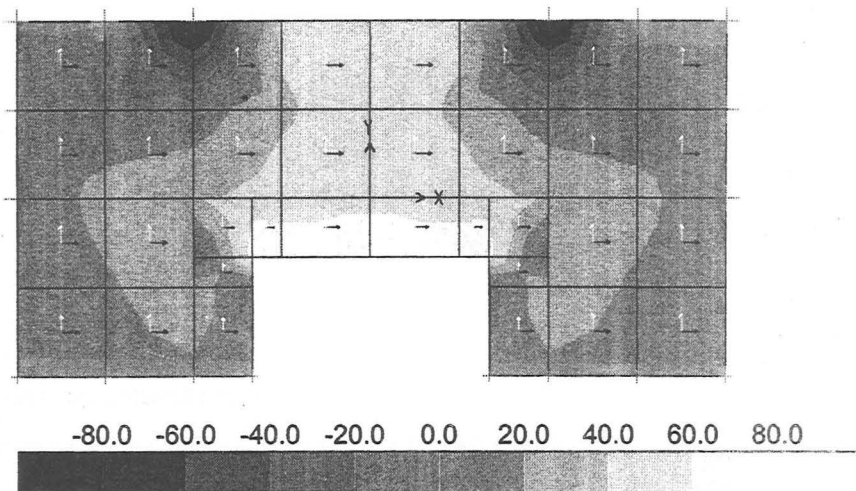
-102. -85. -68. -51. -34. -17. 0. 17. 34.

Resultant MMIN Diagram (LOAD1) - KN

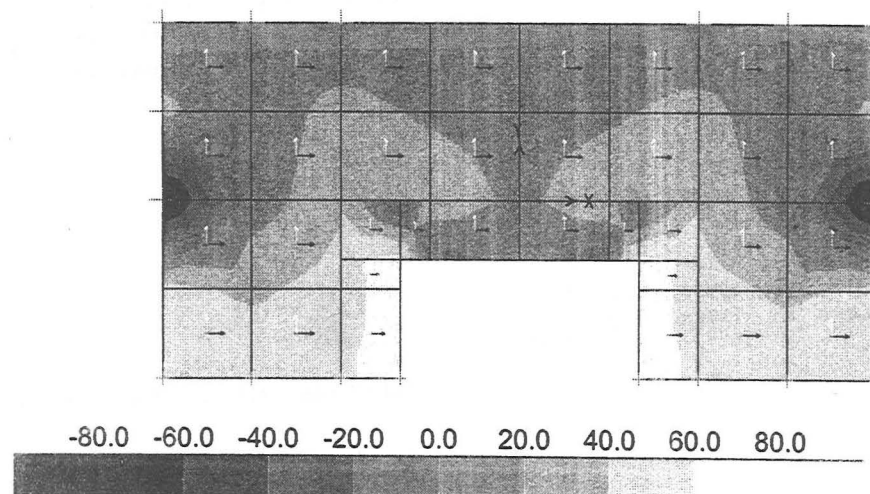


12. 24. 36. 48. 60. 72. 84. 96. 108.

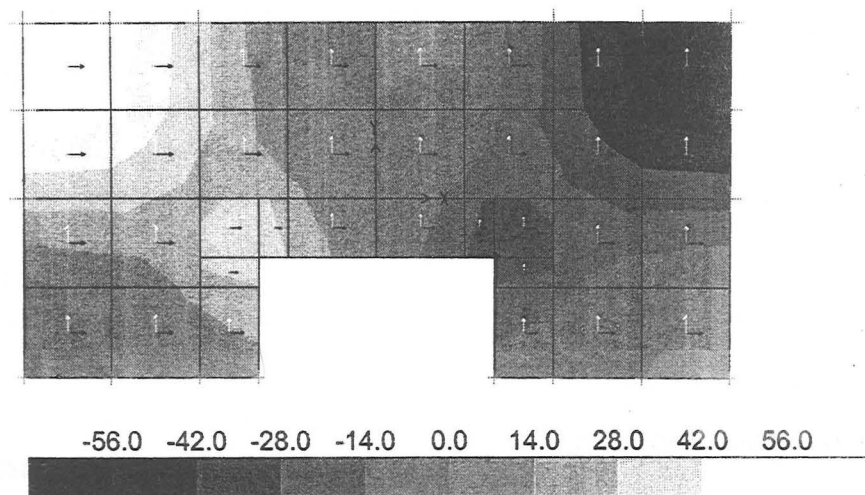
Resultant MMAX Diagram (LOAD1) - K



Resultant M11 Diagram (LOAD1) - KN-



Resultant M22 Diagram (LOAD1) - KN-

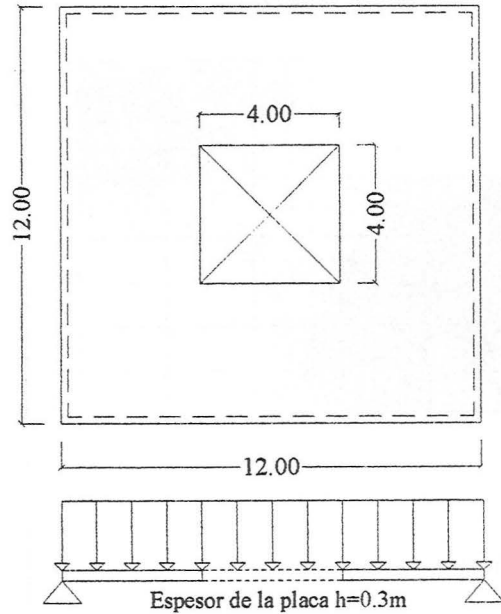


Resultant M12 Diagram (LOAD1) - KN-

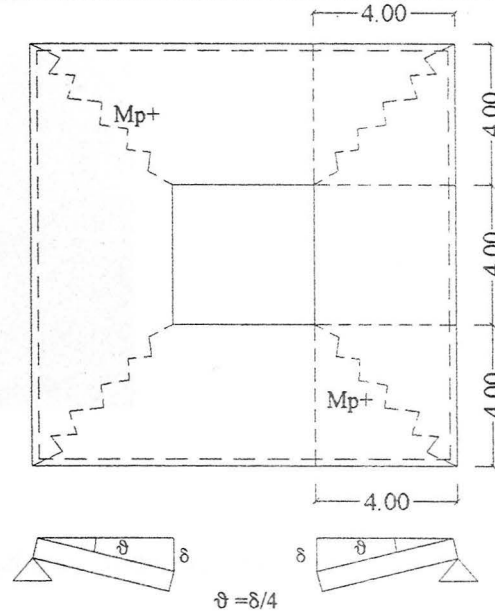


12: PLACA CON APOYO EN EL CONTORNO.

DEFINICION GEOMETRICA



CONFIGURACION DE ROTURA DE MAYOR MOMENTO

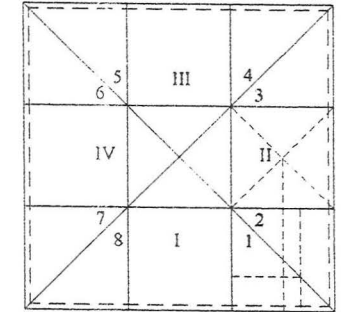


$$W_{ext} = (1/2 \cdot 4 \cdot 4 \cdot \delta/3 \cdot 8 + 4 \cdot 4 \cdot \delta/2 \cdot 4) = 5/6 \cdot 4^3 q \delta$$

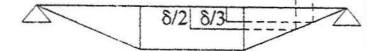
$$W_{int} = 4 \cdot (M_p+) \cdot 8 \cdot \delta/4 = 8M_p \delta$$

Igualando W_{ext} a W_{int} obtenemos:

$$M_p = (5/6) \cdot (4^3 q/8) = 70 \text{ Kn m/ml}$$

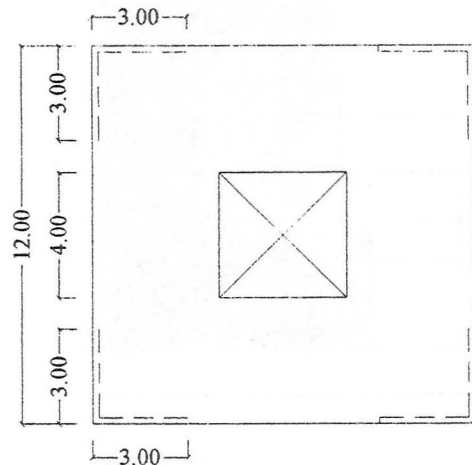


Descenso de los centros de gravedad tanto de los cuadrados como de los triángulos que forman la placa

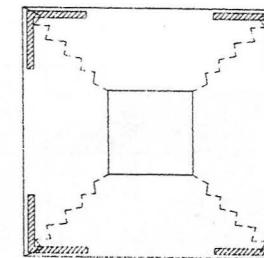
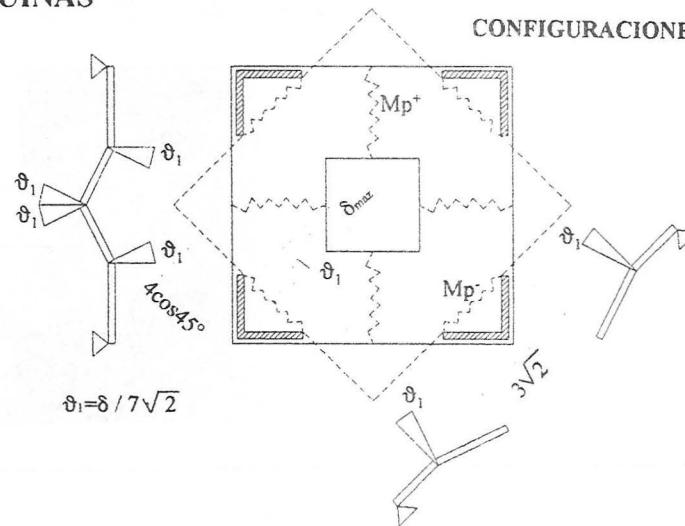


13: PLACA CON APOYO EN LAS ESQUINAS

DEFINICION GEOMETRICA



CONFIGURACIONES DE ROTURA MAS PROBABLES



Configuración de rotura similar a la de la práctica 12 (rompe por las esquinas del hueco)

$$M_p = 70 \text{ kn} \cdot \text{m/ml}$$

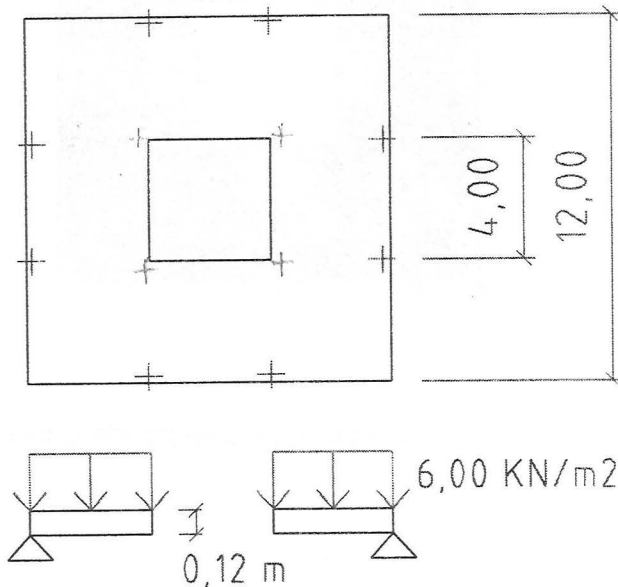
$$W_{ext} = (6 \cdot 6 - 1/2 \cdot 3 \cdot 3 - 2 \cdot 2) \cdot 4q \cdot \delta/2 = 55q\delta$$

$$W_{int} = 4M_p \cdot 3\sqrt{2} \cdot \delta_1 + 8M_p \cdot 4\cos 45^\circ \delta_1 =$$

$$= M_p [4 \cdot 3\sqrt{2} \cdot (\delta/7\sqrt{2}) + 8 \cdot (4/\sqrt{2}) \cdot (\delta/7\sqrt{2})] = M_p [(24/7) + (32/7)] = 8M_p \delta$$

Igualando $W_{int} = W_{ext}$

$$M_p = M_p = 55q/8 = 72.2 \text{ kn} \cdot \text{m/ml}$$



Apoyos:

Apoyos : (0,0,U3)

Cargas:

Sobrecarga : 3KN/m²
Peso propio : densidad del hormigón: 25KN/m³

PLACA SOBRE PILARES

1. COMPROBAR CONFIGURACIÓN REGIONAL.

2. ENTRAR PROGRAMA SAP 2000 EDUCACIONAL.

3. ELEGIR UNIDADES.

4. ABRIR ARCHIVO NUEVO.

file

new model

cartesian

number of grid spaces

x direction 6

y direction 6

z direction 1

grid spacing

x direction 2

y direction 2

z direction 1

5. GEOMETRÍA DE LA ESTRUCTURA.

quick draw shell element

Definimos todos los elementos (36), en los cuales los grados de libertad considerados en el cálculo son la flecha y los giros según los ejes contenidos en el plano de la placa.

Para ubicar el patio central deberemos borrar los elementos que sean necesarios (4).

5.1. BORRAR ELEMENTOS YA DEFINIDOS.

seleccionamos elementos

edit

delete

refresh window

ejes locales

set element

shell

local axes

6. CONDICIONES DE APOYO.

seleccionamos apoyo (click sobre el nudo)

assign joint restraints

translation 3 en todos los apoyos

apoyos puntuales. (Todos los apoyos

son "apoyo simple en dirección z")

7. MATERIAL.

define materials concrete

modulus of elasticity

poisson's ratio

8. SECCIONES.

assign

shell sections

thickness :

membrane 0.12

bending 0.12

type :

plate

Si es necesario, dar nombre a la sección.

9. ESTADOS DE CARGA.

define

static load cases

load 1

self weight multiplier 2

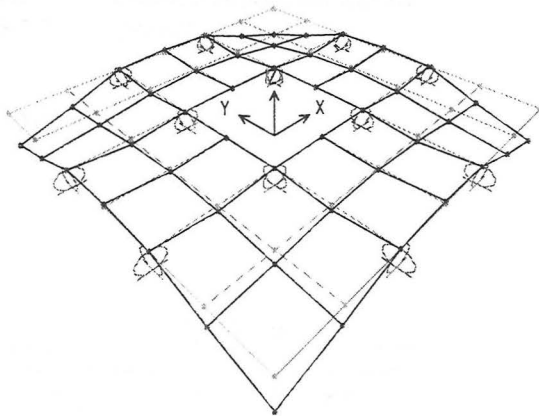
.12*25=3 3+3=6

6/3=2

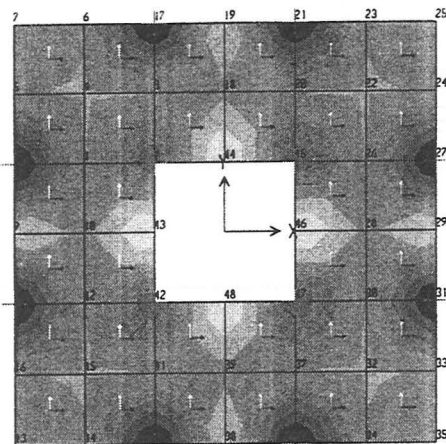
add to existing load

10. ANALISIS.

run analysis

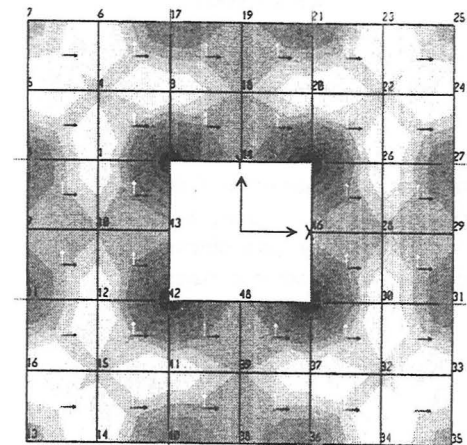


Deformed Shape (LOAD1) - KN-m Units



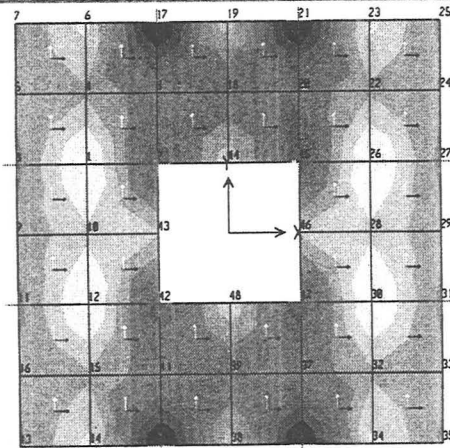
-21.0 -17.5 -14.0 -10.5 -7.0 -3.5 0.0 3.5 7.0

Resultant MMIN Diagram (LOAD1) - KN-



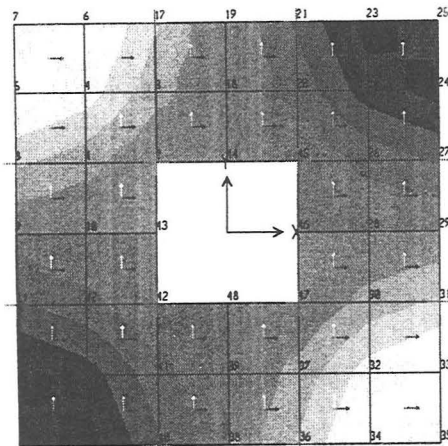
-7.8 -5.2 -2.6 0.0 2.6 5.2 7.8 10.4 13.0

Resultant MMAX Diagram (LOAD1) - KN-m Un



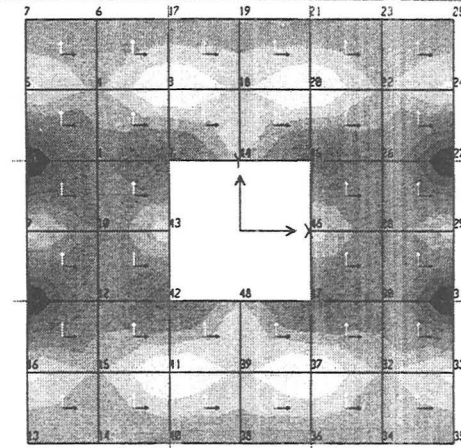
-20.0 -16.0 -12.0 -8.0 -4.0 0.0 4.0 8.0 12.0

Resultant M11 Diagram (LOAD1) - KN-m



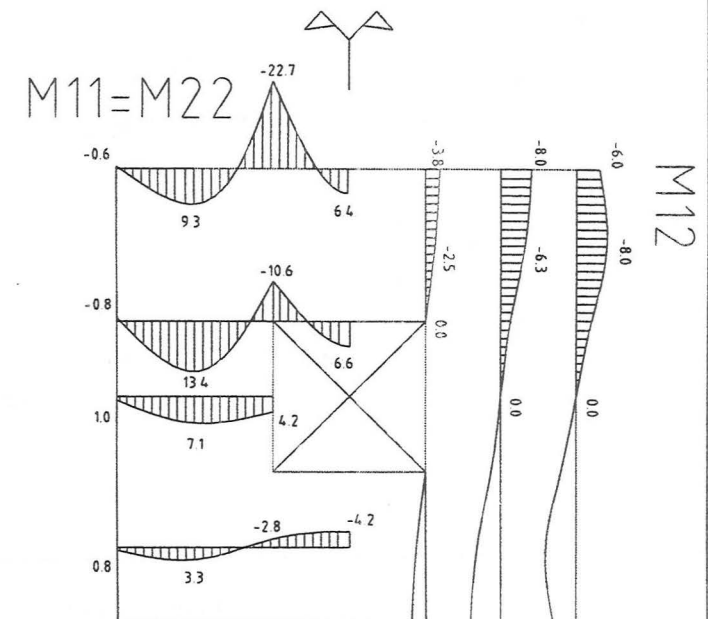
-7.20 -5.40 -3.60 -1.80 0.00 1.80 3.60 5.40 7.20

Resultant M12 Diagram (LOAD1) - KN-m



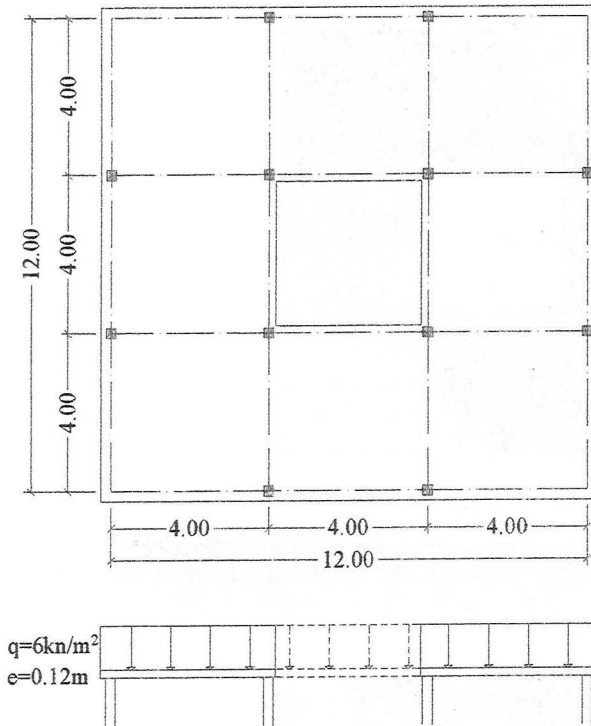
-20.0 -16.0 -12.0 -8.0 -4.0 0.0 4.0 8.0 12.0

Resultant M22 Diagram (LOAD1) - KN-m





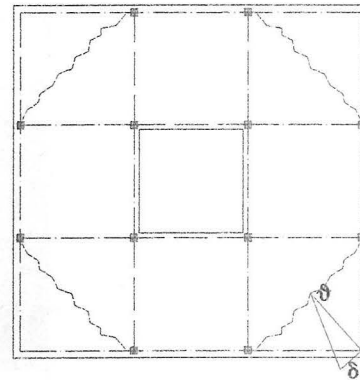
DEFINICION GEOMETRICA



CALCULO MANUAL

CONFIGURACIONES DE ROTURA

PRIMERA CONFIGURACION

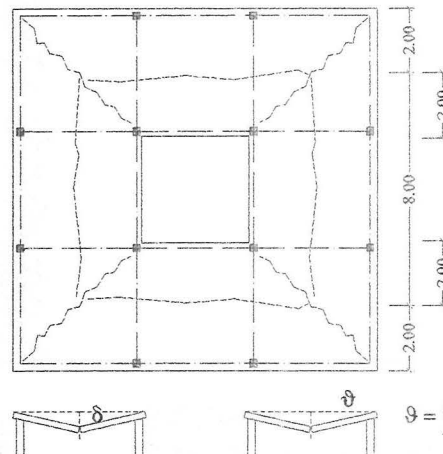


$$W_{EXT} = \frac{1}{2} \cdot 4 \cdot 4 \cdot \frac{\delta}{3} \cdot q$$

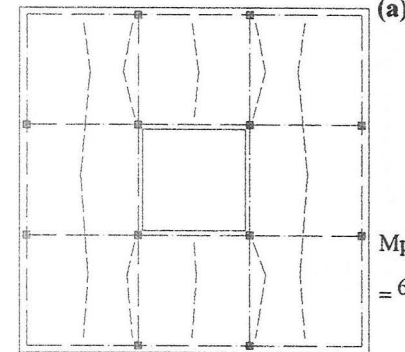
$$W_{INT} = 4 \cdot \sqrt{2} \cdot M_p^- \cdot \frac{\delta}{4 \cdot \sqrt{2} / 2} = 2 M_p^- \delta$$

$$M_p^- = \frac{16}{12} \cdot q = 1.33 \cdot 6 \approx 8 \text{ kn} \cdot \text{m} / \text{m}$$

CUARTA CONFIGURACION



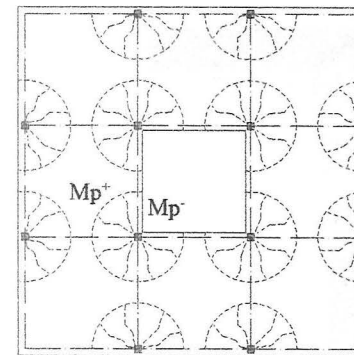
SEGUNDA CONFIGURACION



$$M_p^{+MAX} = \frac{q l^2}{8} =$$

$$= 6 \cdot 4^2 / 8 = 12 \text{ kn} \cdot \text{m} / \text{m}$$

TERCERA CONFIGURACION



$$P = \frac{(144 - 16) \cdot 6}{12 \text{ soportes}} = 64 \text{ kn}$$

$$W_{EXT} = P \cdot \delta - \pi \cdot R^2 \cdot q \cdot \frac{1}{3} \delta$$

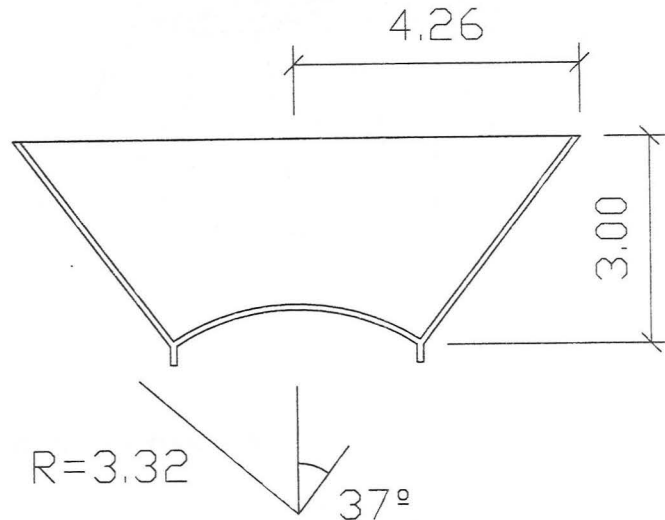
$$W_{INT} = \frac{3}{4} \cdot (M_p^+ + M_p^-) \cdot 2 \pi R \cdot \frac{\delta}{R}$$

$$M_p^+ = M_p^- = \frac{64 \delta}{3 \pi \delta} \approx 7 \text{ kn} \cdot \text{m} / \text{ml}$$

$$W_{EXT} = 8 \left[8 \cdot q \cdot \frac{\delta}{2} + 4 \cdot q \cdot \frac{\delta}{2} + 4 \cdot \frac{1}{2} \cdot 2 \cdot 2 \cdot q \cdot \frac{\delta}{3} \right] = 58.6 q \delta$$

$$W_{INT} = M_p^+ \left[8 \cdot \frac{\delta}{2} + 4 \cdot \frac{\delta}{2} + M_p^+ \cdot 2 \cdot 8 \cdot \frac{\delta}{2} + M_p^- \cdot 2 \cdot 8 \cdot \frac{\delta}{2} \right] = 32 M_p \delta$$

$$M_p = \frac{58.6 q}{32} \approx 11 \text{ kn} \cdot \text{m} / \text{ml}$$



Apoyos:

Apoyos en el plano de simetría:

Nudo central de la esfera: U1,U2,R1,R2,R3

Nudos intersección de ambas superficies: U1,U3,R2,R3

Resto de nudos: U1,R2,R3

Apoyos en el anillo inferior: U3

(Las coacciones de los apoyos dependen de los ejes generales.)

Secciones:

Anillos: sección rectangular de hormigón 0.6 x 0.3 m (canto por ancho).

Láminas: espesor 0.07 m

Cargas:

Estado 1: Peso propio.

Estado 2: Peso de la tapa. Cargas puntuales de -22.3 Kn y -11.15 Kn (para nudos del plano de simetría) sobre el borde superior.

Estado 3: Empuje del agua con depósito lleno.

DEPÓSITO

1. COMPROBAR CONFIGURACIÓN REGIONAL.

2. ENTRAR PROGRAMA SAP 2000 EDUCATIONAL.

3. ELEGIR UNIDADES. (Kn, m)

4. ABRIR ARCHIVO NUEVO.

file

new model from template

dome

number of circumferential spaces 12

number of segments 4

radius 3.32

roll down angle 37

Activamos *grid lines*.

5. GEOMETRÍA DE LA ESTRUCTURA.

Borraremos la mitad de la superficie esférica de forma que nos quede el eje y alineado con el corte a la superficie.

edit

delete

draw Añadimos líneas a la red.

edit grid Desactivamos *lock grid lines*.

direction r 4.26

add grid line

direction z 3

add grid line

xy 2d view Vista del plano xy

Mediante las flechas de subida y bajada nos ponemos en el plano inferior y colocamos las barras del anillo.

draw frame element

Repetimos la operación para el anillo superior.

quick draw frame element

3d view

draw shell element Definimos elementos superficiales uniendo los segmentos de ambos anillos.

Seleccionamos los elementos de la superficie cónica.

edit

mesh shells

mesh into 1 (o viceversa según el orden seguido
by 6 al crear dichos elementos)

6. CONDICIONES DE APOYO.

assign joint restraints

7. MATERIAL.

define materials

concrete

weight per unit volume 25

modulus of elasticity 2E7

poisson's ratio 0.1

8. SECCIONES.

define frame sections

define shell sections

membrane 0.07 type

bending 0.07 shell

9. ESTADOS DE CARGA.

define static load cases

Peso propio self weight multiplier 1

Peso tapa self weight multiplier 0

Empuje del agua self weight multiplier 0

assign joint loading (peso de la tapa)

select all (peso propio)

assign shell static loads gravity z=-1

define joint patterns (empuje del agua)

select all

assign joint patterns C= -10.3 D= 30

select all

assign shell static loads pressure

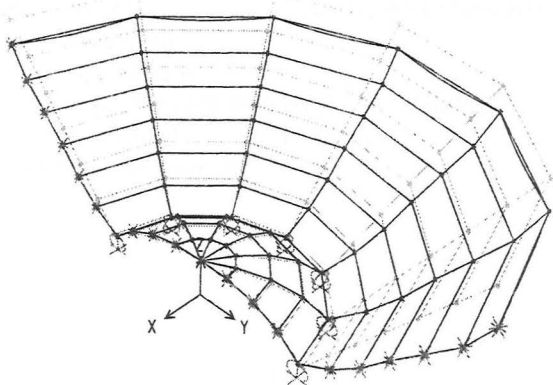
by joint pattern multiplier=-1

Para más información *help search*

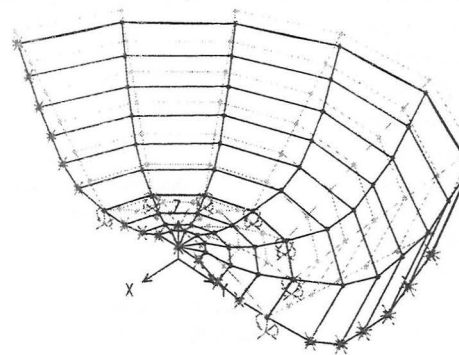
assign joint patterns.

10. ANALISIS.

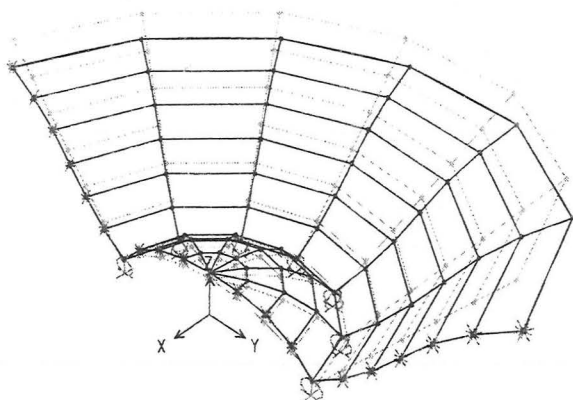
run analysis



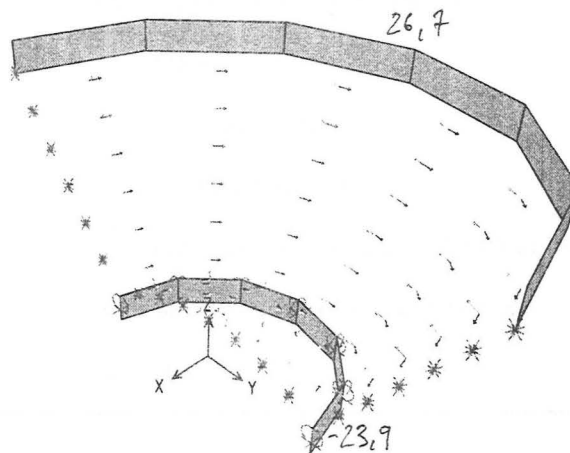
DEFORMADA . (PESO PROPIO).m



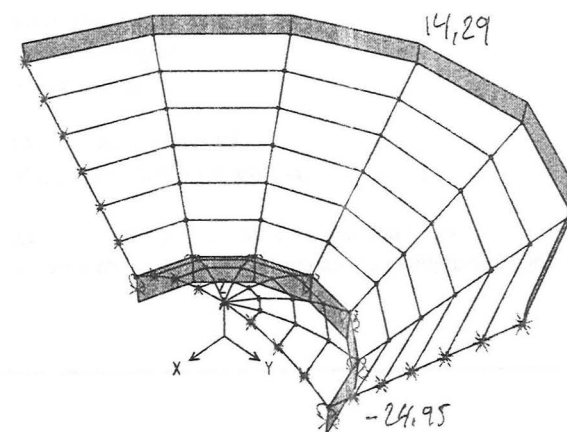
DEFORMADA . LAMINA. (AGUA).m



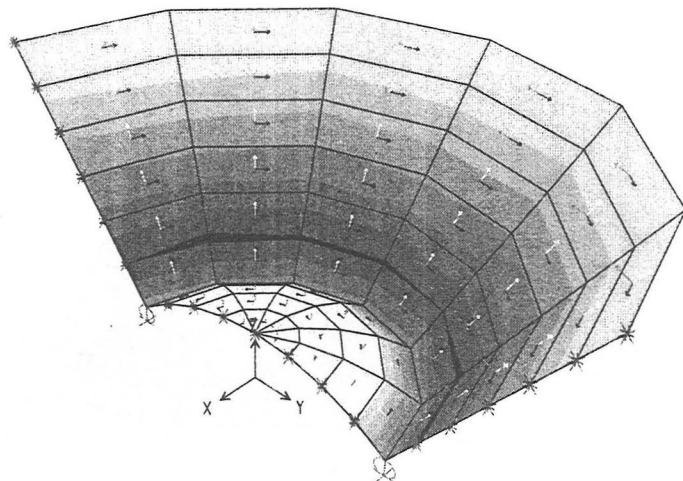
DEFORMADA . (TAPA).m



AXILES (TAPA) KN

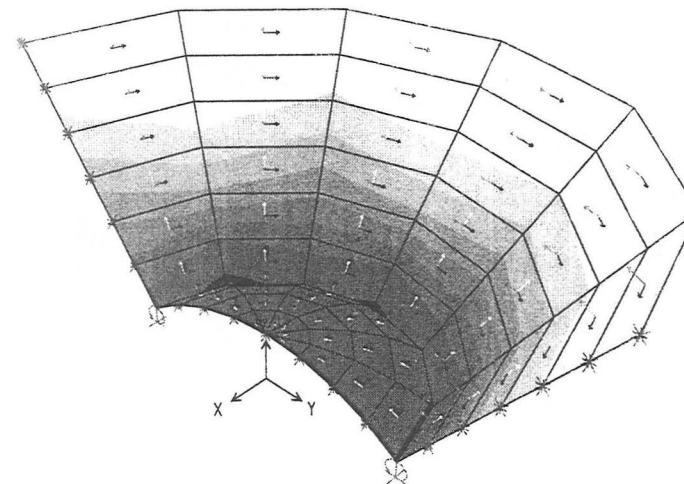


AXILES (PESO PROPIO) KN



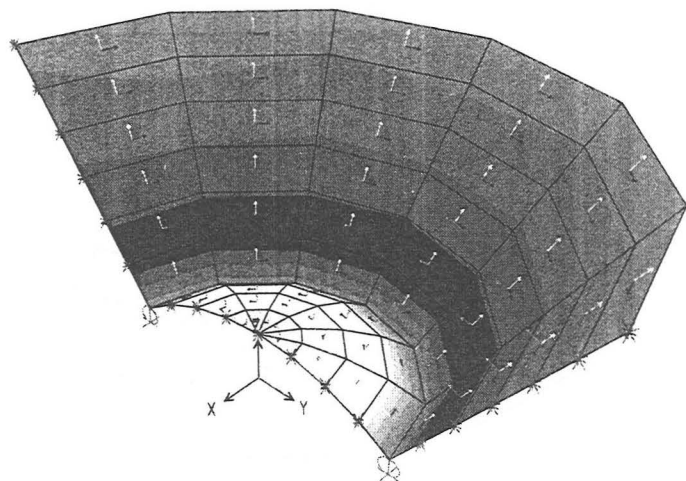
-31.5 -28.0 -24.5 -21.0 -17.5 -14.0 -10.5 -7.0 -3.5

F 22. LAMINA. (PESO PROPIO).m KN / m



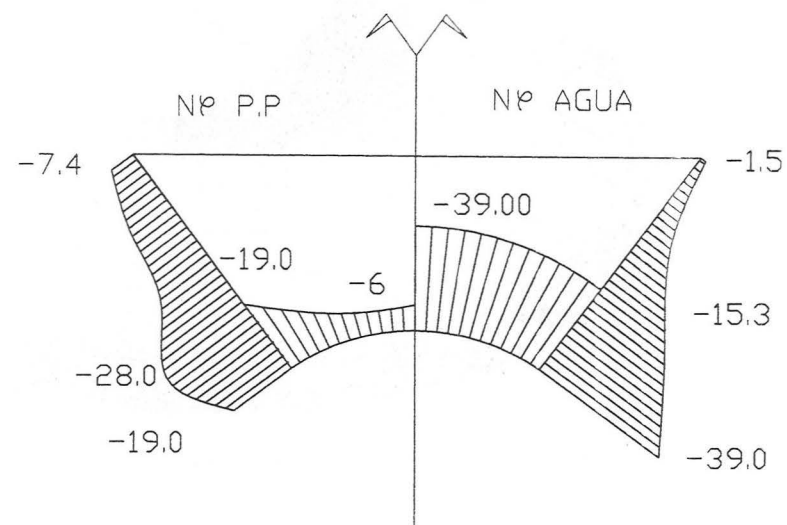
-48.0 -42.0 -36.0 -30.0 -24.0 -18.0 -12.0 -6.0 0.0

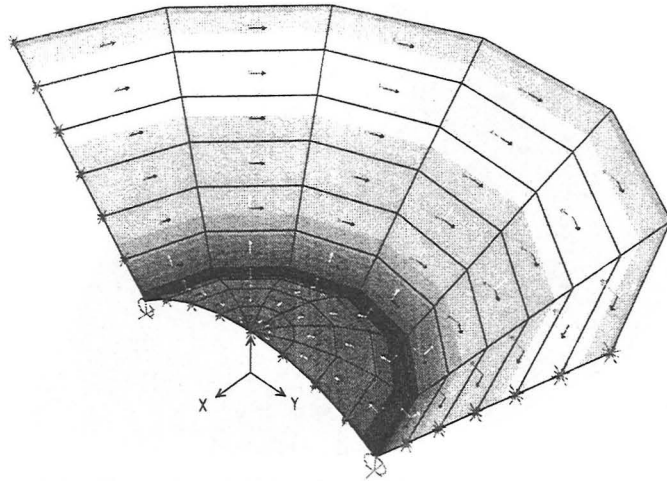
F 22. LAMINA. (AGUA).m KN / m



-22.4 -19.6 -16.8 -14.0 -11.2 -8.4 -5.6 -2.8 0.0

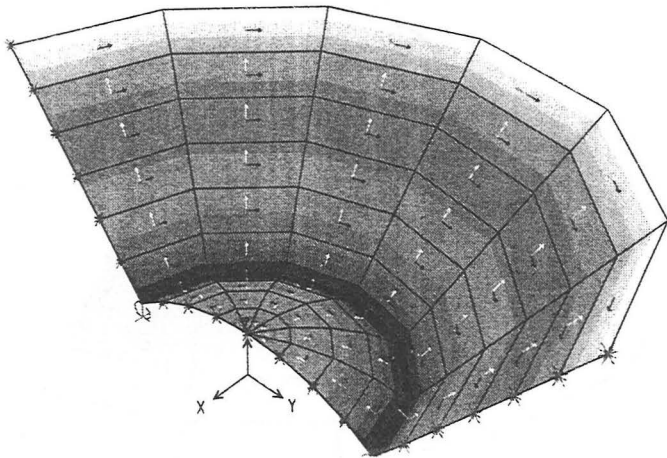
F 22. LAMINA. (TAPA).m KN / m





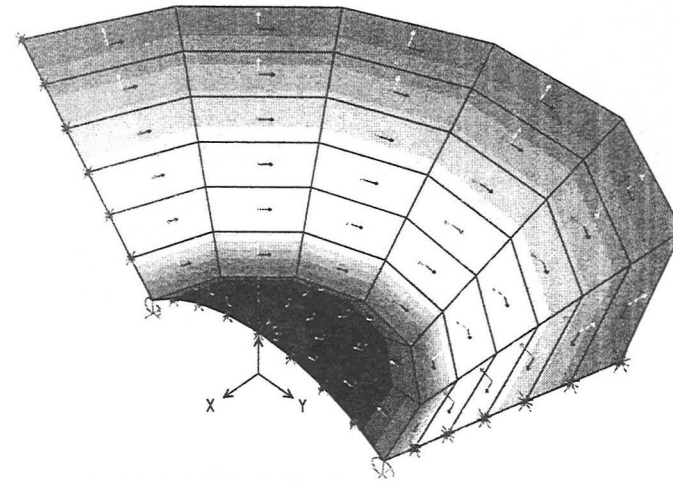
-11.2 -8.4 -5.6 -2.8 0.0 2.8 5.6 8.4 11.2

F 11. LAMINA. (PESO PROPIO). KN / m



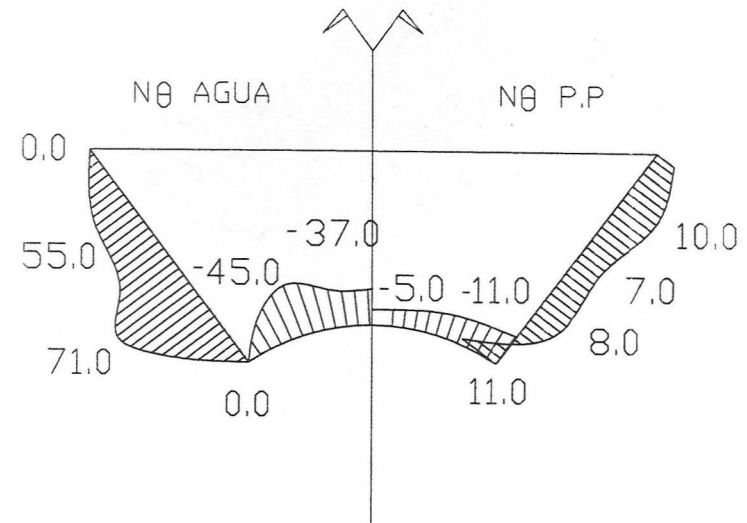
-9.60 -7.20 -4.80 -2.40 0.00 2.40 4.80 7.20 9.60

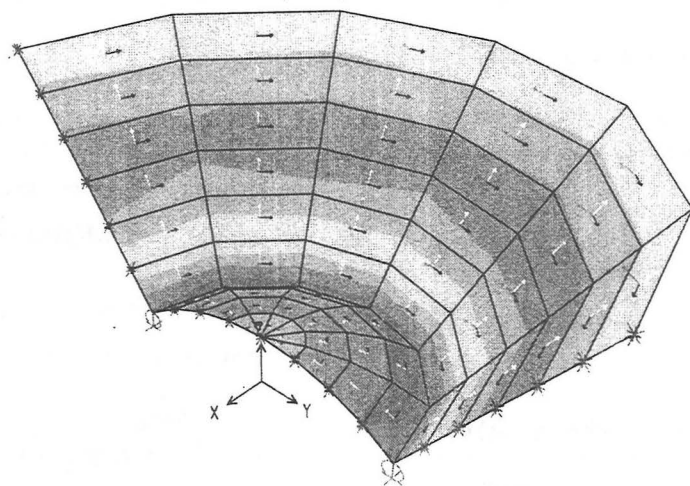
F 11. LAMINA. (TAPA). KN / m



-39.0 -26.0 -13.0 0.0 13.0 26.0 39.0 52.0 65.0

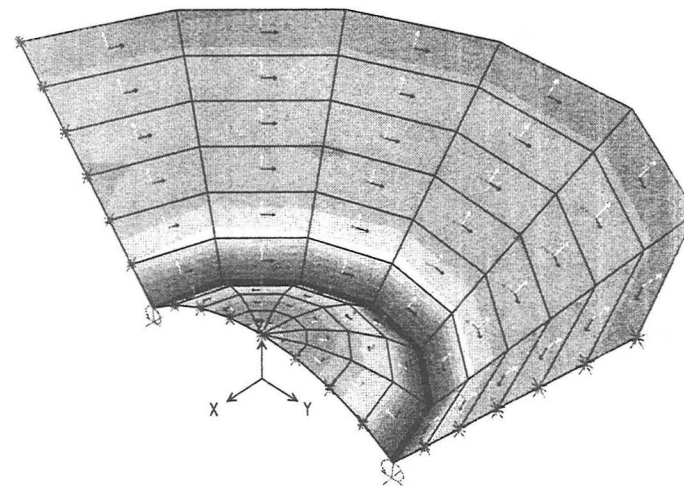
F 11. LAMINA. (AGUA). KN / m





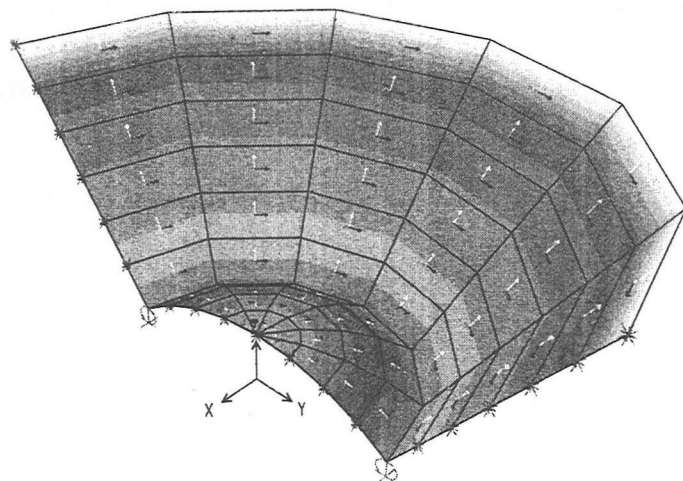
-225. -180. -135. -90. -45. 0. 45. 90. 135. E-3

M 22. LAMINA. (PESO PROPIO).m KN / m



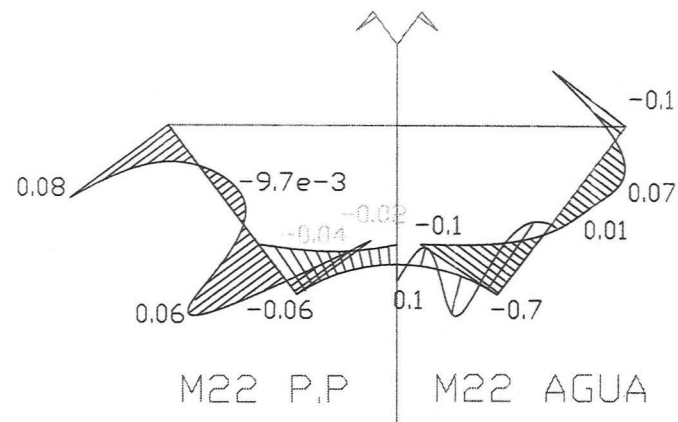
-800. -640. -480. -320. -160. 0. 160. 320. 480. E-3

M 22. LAMINA. (AGUA).m KN / m



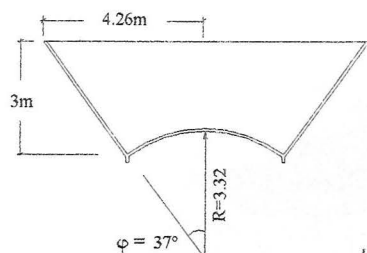
-112. -84. -56. -28. 0. 28. 56. 84. 112. E-3

M 22. LAMINA. (TAPA).m KN / m





DEFINICIÓN GEOMÉTRICA:

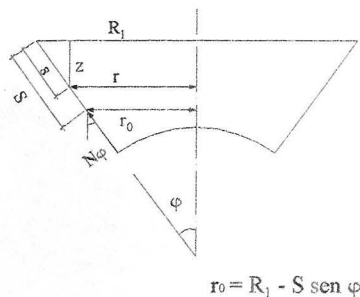


$$P_v = \gamma \cdot e = 25 \cdot 0.07 = 1.75 \text{ KN/m}^2$$

$$P_r = \gamma \cdot z = 10 \cdot z \text{ KN/m}^2$$

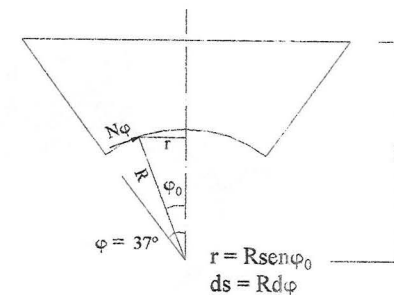
$$P_r = P_v \sin \varphi$$

Tronco de cono.



$$r_0 = R_1 - S \sin \varphi$$

Esfera



DEPÓSITO LLENO.

Tronco de cono.

$$P_r = \gamma \cdot z = 10 \cdot z \text{ KN/m}^2$$

$$N_\varphi \cdot 2\pi r_0 \cdot \cos \varphi = - \int P_r \sin \varphi \cdot 2\pi r \, ds$$

$$N_\varphi r_0 \cos \varphi = - \int_0^S 10 s \cos \varphi \sin \varphi (R_1 - s \sin \varphi) \, ds$$

$$N_\varphi = - \frac{1}{r_0} \int_0^S 10 s \sin \varphi (R_1 - s \sin \varphi) \, ds$$

$$N_\varphi = - \frac{10 \left(\frac{S^2}{2} R_1 \sin \varphi - \frac{S^3}{3} \sin^2 \varphi \right)}{(R_1 - S \sin \varphi)}$$

$$N_\theta = P_r \cdot s \cdot \tan \varphi = 10 \cdot (S - s) \cos \varphi \cdot s \cdot \tan \varphi$$

$$N_\theta = 10 (S - s) s \sin \varphi$$

Esfera.

$$N_\varphi \cdot 2\pi r \cdot \sin \varphi_0 = - \int 10 (H - R \cos \varphi) \cdot 2\pi r \cos \varphi \, ds$$

$$ds = R d\varphi$$

$$N_\varphi 2\pi R \sin^2 \varphi_0 = - \int_0^{\varphi_0} 10 (H - R \cos \varphi) \cdot 2\pi R \sin \varphi \, d\varphi$$

$$N_\varphi = - \frac{10R}{\sin^2 \varphi_0} \left(-H \frac{\cos^2 \varphi}{4} + R \frac{\cos^3 \varphi}{3} \right) \Big|_0^{\varphi_0}$$

$$N_\theta = -10 (H - R \cos \varphi) \cdot R + N_\varphi$$

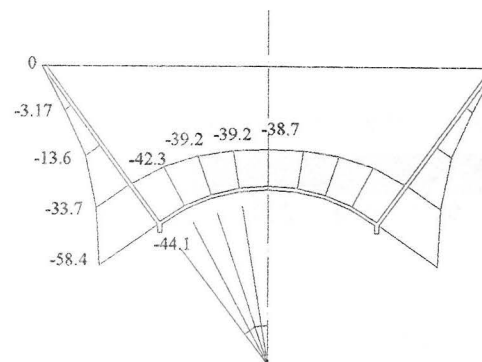


Diagrama N_φ . KN.

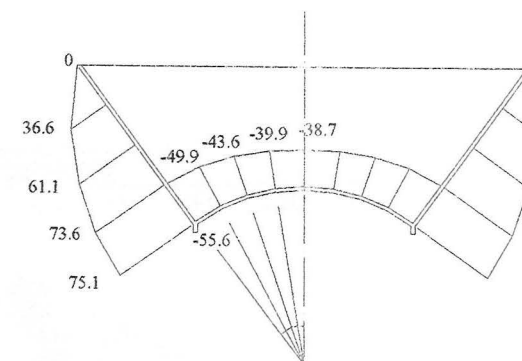


Diagrama N_θ . KN.

PESO PROPIO.

Tronco de cono.

$$P_v = \gamma \cdot e = 25 \cdot 0.07 = 1.75 \text{ KN/m}^2$$

$$N_\varphi \cdot 2\pi r_0 \cdot \cos \varphi = - \int P_v \cdot 2\pi r \, ds$$

$$N_\varphi = - \frac{P_v \int_0^{\varphi_0} (R_1 - s \sin \varphi) \, ds}{(R_1 - S \sin \varphi) \cos \varphi}$$

$$N_\varphi = - \frac{P_v (R_1 S - \frac{S^2}{2} \sin \varphi)}{(R_1 - S \sin \varphi) \cos \varphi}$$

$$N_\theta = P_r \cdot r_\theta = P_v \sin \varphi \cdot s \cdot \tan \varphi$$

$$N_\theta = P_v s \sin^2 \varphi / \cos \varphi$$

Esfera.

$$N_\varphi \cdot 2\pi r \cdot \sin \varphi_0 = - \int P_v \cdot 2\pi R \sin \varphi \, ds; ds = R d\varphi$$

$$N_\varphi \cdot 2\pi R \sin \varphi_0 \sin \varphi_0 = - \int_0^{\varphi_0} P_v \cdot 2\pi R \sin \varphi \cdot R d\varphi$$

$$N_\varphi = - \frac{1}{\sin^2 \varphi_0} \int_0^{\varphi_0} (P_v R \sin \varphi) \, d\varphi$$

$$N_\varphi = - \frac{P_v R}{\sin^2 \varphi_0} (-\cos \varphi_0 + 1) = - \frac{P_v R}{1 + \cos \varphi_0}$$

$$N_\theta = -P_r \cdot R - N_\varphi$$

$$N_\theta = -P_v \cdot \cos \varphi \cdot R + N_\varphi$$

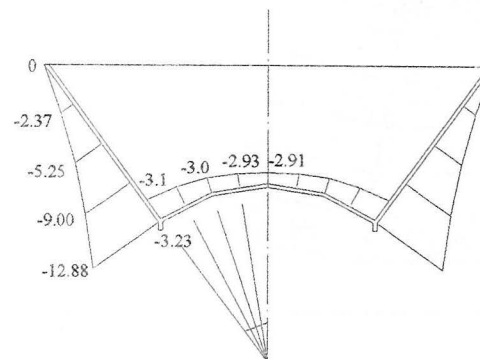


Diagrama N_φ . KN.

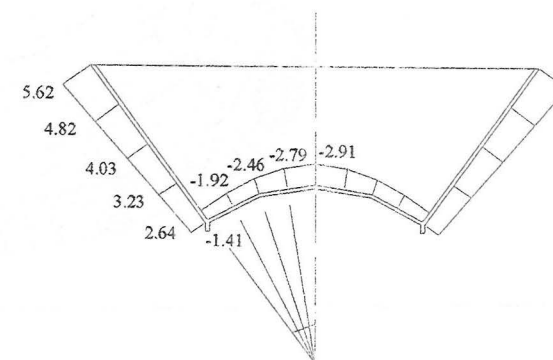
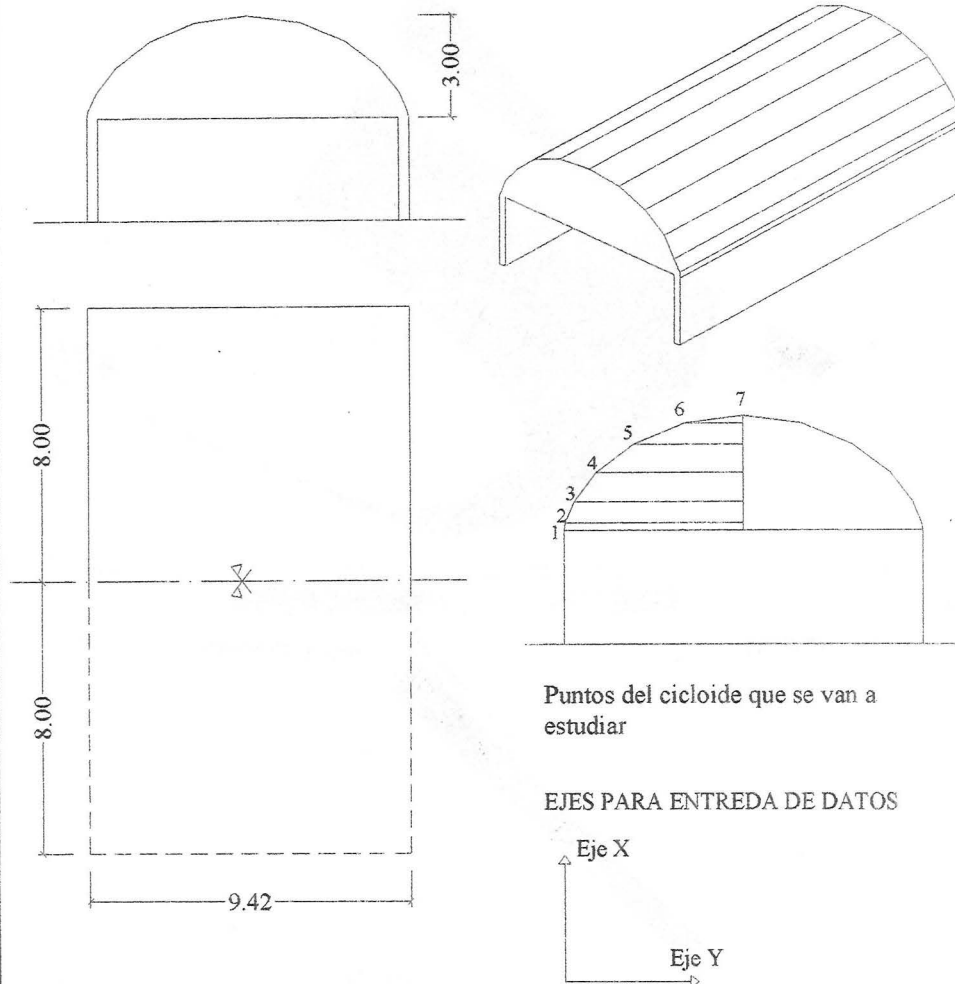
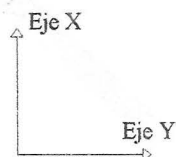


Diagrama N_θ . KN.



Puntos del cicloide que se van a estudiar

EJES PARA ENTREGA DE DATOS



UNIONES:

Nudos en tímpano: (0,U2,U3)
Nudos en plano de simetría: (U1,0,0,R2,R3)

CARGAS:

Sobrecarga: 1.5KN/m²

Peso propio: 2.5KN/m²

(peso específico 25KN/m³ espesor de la lamina 0.1m)

LAMINA CILINDRICA DE DIRECTRIZ CICLOIDE.

1. COMPROBAR CONFIGURACIÓN REGIONAL.

2. ENTRAR PROGRAMA SAP 2000 EDUCACIONAL.

3. ELEGIR UNIDADES.
KN-m

4. ABRIR NUEVO ARCHIVO.
file

new model

creamos la red sobre la que definiremos la estructura (explicaremos este caso).

NEW MODEL

cartesian (coordenadas cartesianas)

number of grid spaces

x direction	2
y direction	12
z direction	6

grid spacing

x direction	4
y direction	1
z direction	0.5

5. GEOMETRÍA DE LA ESTRUCTURA.

Se ha de ajustar la red definida a los puntos que nos configuran el cicloide. Movemos la dirección Y y Z

Dirección Y

Valores de la red: 0, 1, 2, 3, 4, 5, 6

Valores del cicloide: 0,1.53,2.86,3.85,4.44,4.71

Los demás valores de la red del cicloide son simétricos a los anteriores

Dirección Z

Valores de la red: 0, 1, 2, 3, 4, 5, 6

Valores del cicloide: 0.0,20,0.75,1.50,2.25,2.79,3

Una vez definida la malla añadimos nudos para la definición de la lamina

add special joint: Marcamos con el puntero los nudos que hemos definido para construcción del cicloide

Draw shell element

select all: Se crean elementos planos que van apoyados en ambas directrices.

edit

mesh shells

mesh into 1 by 8 shells

set elements Se comprueba que la orientación de los ejes locales es la correcta

shells local axes

6. CONDICIONES DE CONTORNO

Seleccionamos los nodos del tímpano

Assign joint restraints

Translation 2 y translation 3

Seleccionamos los nodos de la simetría

Translation 1

Rotation about 2

Rotation about 3

7. MATERIAL.

Define material: concrete

8. SECCIONES.

Define shell sections

thickness

membrane	0.1	type: shell
bending	0.1	

9. ESTADOS DE CARGA.

define static load cases

load case 1 (peso propio)

Self weight multiplier 1.6. Aplicamos la carga como un multiplicador del peso propio.

load case 2 (sobrecarga de nieve): carga viva (live) multiplicador=0.

select all

assing shell static loads gravity: z= -1

shell uniform

gravity: 1.5

10. ANÁLISIS: **run analysis**



Estado de carga: carga de nieve = 1.5 KN/m^2

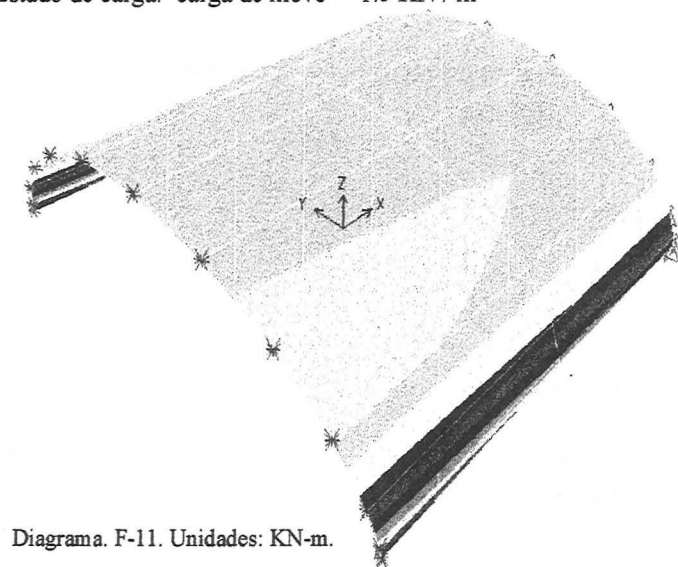


Diagrama. F-11. Unidades: KN-m.

-35 0.0 35 70 105 140 175 210 245

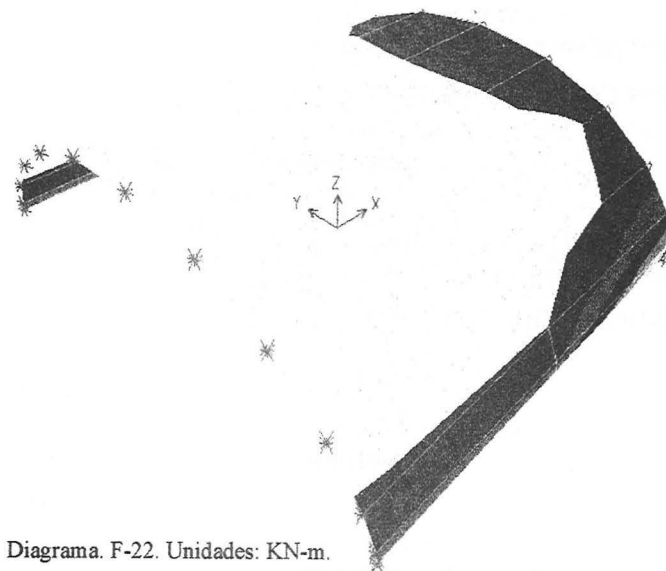


Diagrama. F-22. Unidades: KN-m.

-16.5 -11 -5.5 0.0 5.5 11 16.5 22 27.5

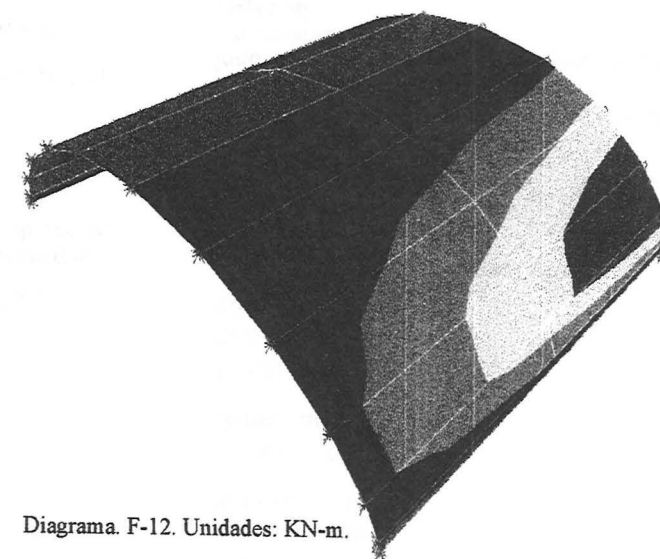


Diagrama. F-12. Unidades: KN-m.

-28 -21 -14 -7.0 0.0 7.0 14 21 28

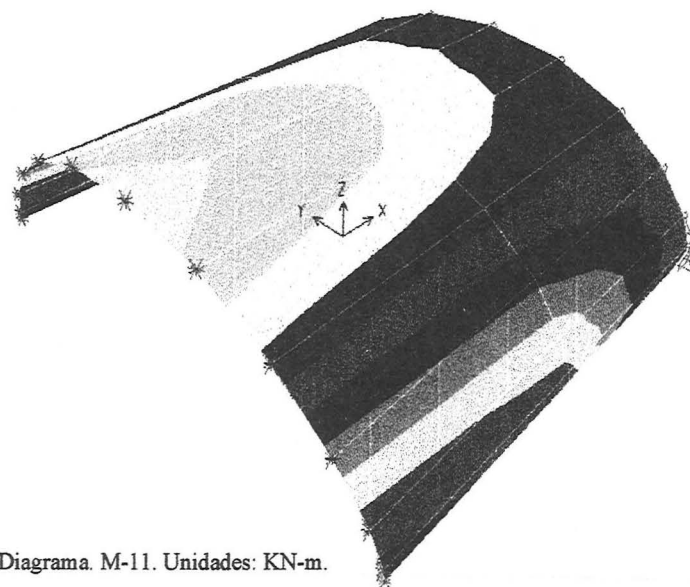


Diagrama. M-11. Unidades: KN-m.

-0.3 -0.2 -0.1 0.0 0.1 0.2 0.3 0.4 0.5

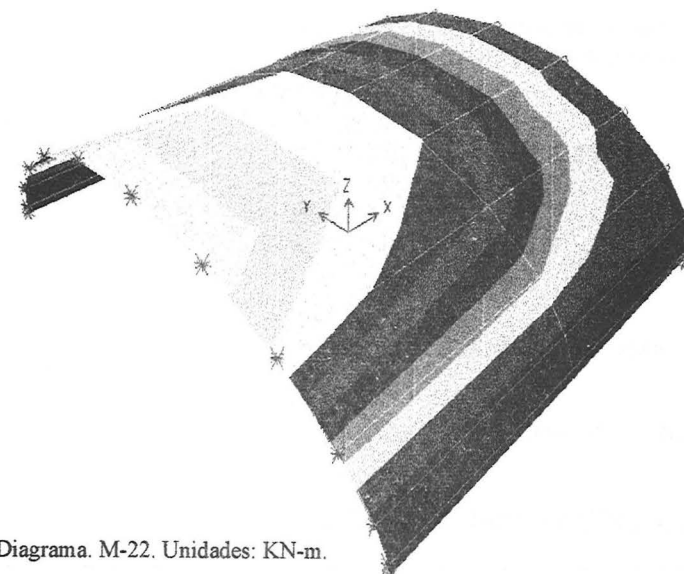
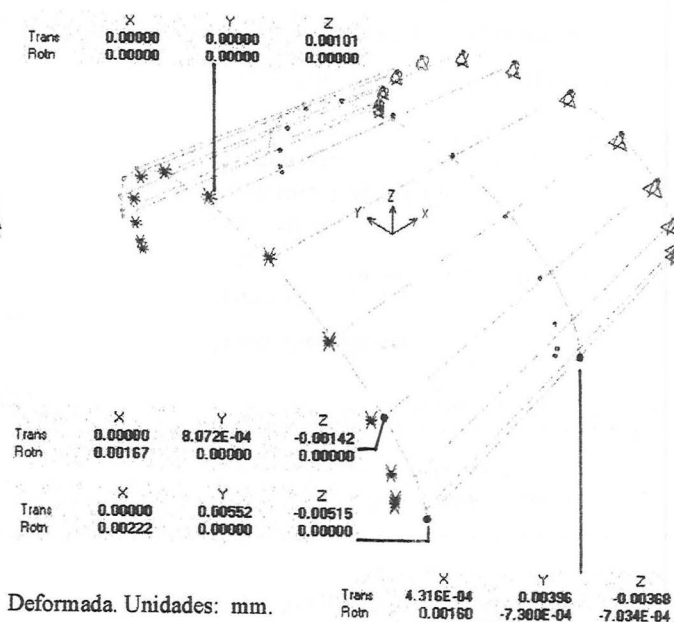


Diagrama. M-22. Unidades: KN-m.

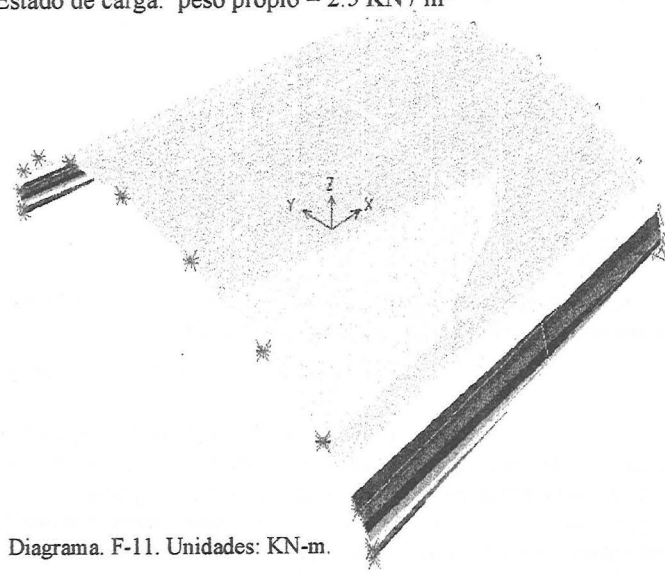
-1.2 -1.05 -0.9 -0.75 -0.6 -0.45 -0.3 -0.15 0.0



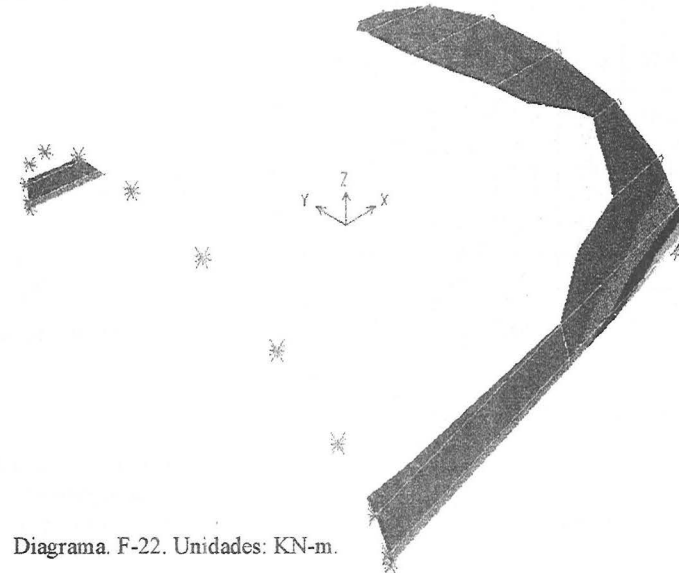
Deformada. Unidades: mm.



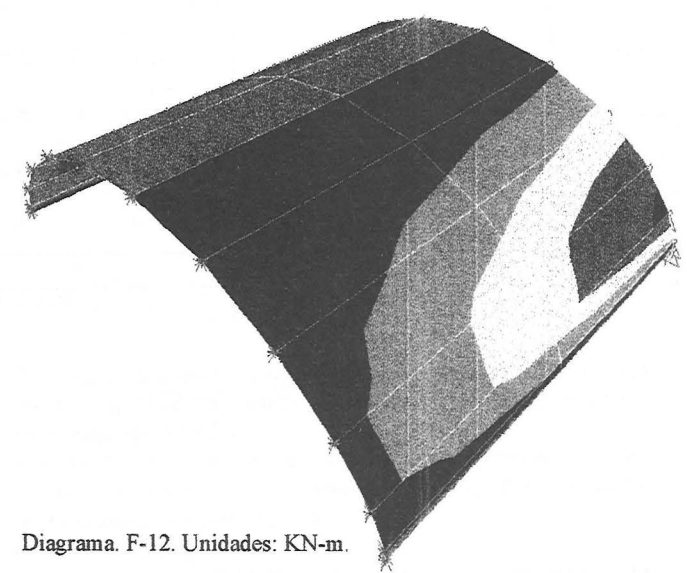
Estado de carga: peso propio = 2.5 KN/m^2



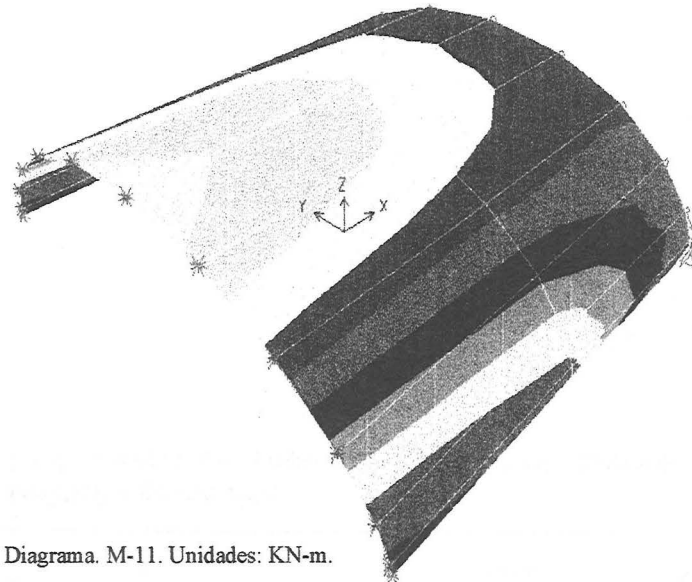
-140 0.0 140 280 420 560 700 840 980



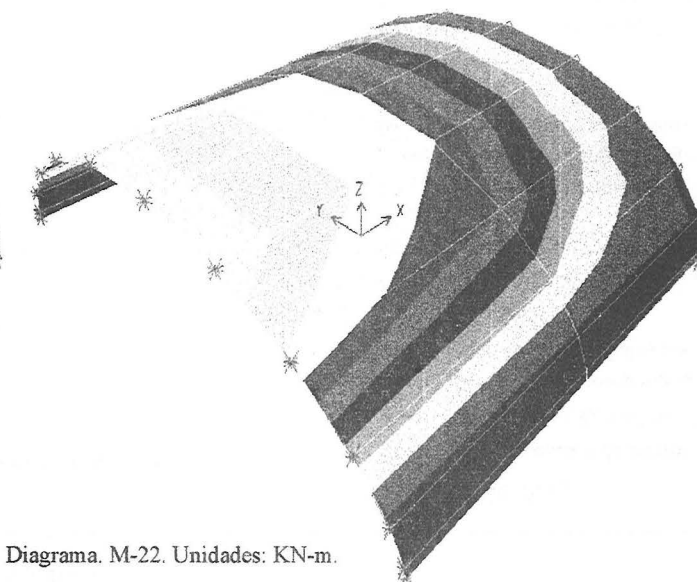
-66 -44 -22 0.0 22 44 66 88 110



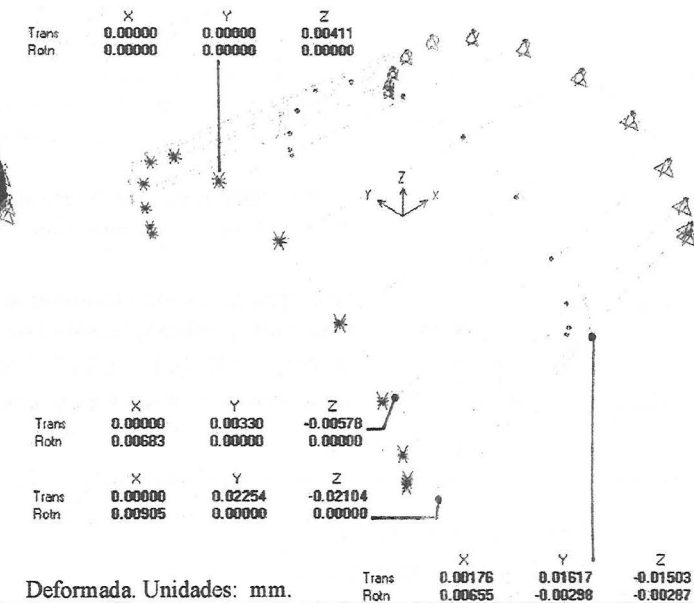
-120 -90 -60 -30 0.0 30 60 90 120



-1.2 -0.8 -0.4 0.0 0.4 0.8 1.2 1.6 2.0



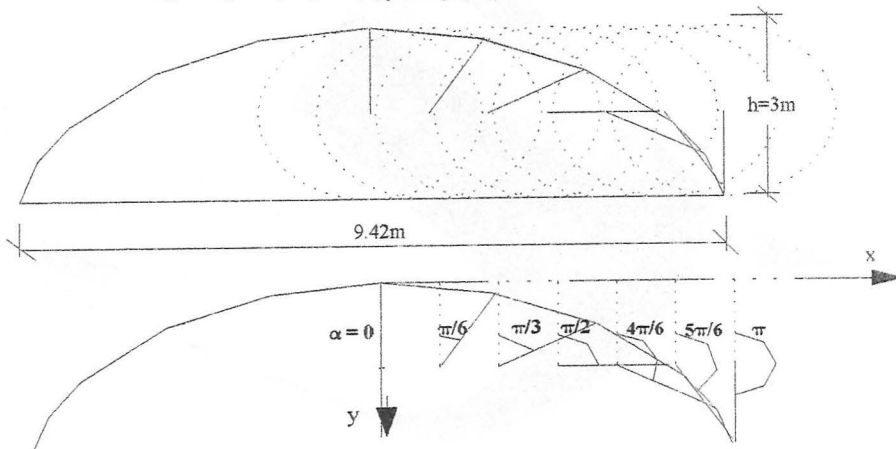
-4.8 -4.2 -3.6 -3.0 -2.4 -1.8 -1.2 -0.6 0.0





Definición geométrica:

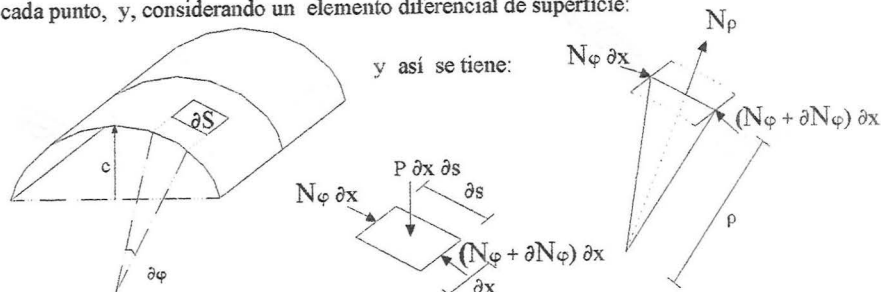
Estado de carga 1: peso propio ($\rho_{\text{esp. hormigón}} = 25 \text{ kN/m}^3$). Espesor de la membrana: 0,1m



El cicloide es la curva que describe un punto de una circunferencia de radio $h/2$ al girar sobre una línea recta. Así, el valor del radio es función de la curvatura $\rho = c \cdot \cos^n \varphi$, siendo $n=1$ en el caso del cicloide. Partiendo de $\alpha = 0$ como punto origen (clave del cicloide), el punto que coincide con $\alpha = 180$ define el extremo de media curva. Conociendo las ecuaciones paramétricas: $x = r \cdot (\varphi + \sin \varphi)$; $y = r \cdot (1 - \cos \varphi)$ siendo $r = h/2$, se definen los puntos en función de los ángulos elegidos (en este caso se han elegido los señalados en la figura). Con los valores de α , se calcularán los ángulos φ sabiendo que, por geometría (véase fig. a la derecha): $\tan \varphi = -\sin \alpha / (1 + \cos \alpha)$.

Valores de N_φ y N_ρ .

Analizando la estructura como membrana, el valor de N_φ es función de la curvatura en cada punto, y, considerando un elemento diferencial de superficie:



Por tanto, el valor de N_φ debe contrarrestar la componente en la dirección del radio de la carga que actúa sobre el elemento diferencial; como en este caso, la carga es vertical tiene que contrarrestar un valor igual a $P \cos \varphi \delta x \delta s$, si $N_\varphi \delta x / \rho = N_\rho \delta s / \rho$, entonces: $N_\varphi \delta x \delta s / \rho + P \cos \varphi \delta x \delta s = 0 \rightarrow N_\varphi / \rho = -P \cos \varphi$ como $\rho = c \cdot \cos \varphi \rightarrow N_\varphi = -P \cdot c \cdot \cos^2 \varphi$. El valor del esfuerzo en la dirección del radio será entonces: $N_\rho = N_\varphi / \rho = -P \cdot \cos \varphi$.

Valores de $N_{x\varphi}$.

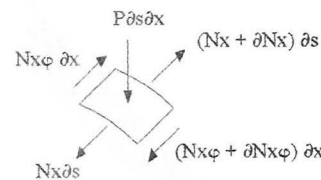
Planteando la ecuación de equilibrio: $\partial N_\varphi + \partial N_{x\varphi} + P \cdot \sin \varphi \delta x \delta s = 0$
 $N_\varphi \delta x + (N_\varphi + \partial N_\varphi) \delta x = \partial N_\varphi$; $N_{x\varphi} \delta s + (N_{x\varphi} + \partial N_{x\varphi}) \delta s = \partial N_{x\varphi}$, de forma que, siendo la componente horizontal de la carga $P \cdot \sin \varphi \delta x \delta s$, sustituyendo las diferenciales por su crecimiento por unidad de longitud y N_φ por su valor:

$\partial N_{x\varphi} / \partial x = -3P \sin \varphi \rightarrow N_{x\varphi} = -3Px \cdot \sin \varphi + C_1(\varphi)$, donde $C_1(\varphi)$ es una constante de integración que depende de la forma de sustentación.

En el caso de la viga biapoyada, $N_{x\varphi} = 0$ en el centro por antisimetría d cortantes. Considerando el origen $x = 0$ en dicho punto tenemos que para $x=0$ $N_{x\varphi}=0 = -3P \cdot 0 \cdot \sin \varphi + C_1(\varphi)$, y por tanto, $C_1(\varphi) = 0$.

Valores de N_x

Para calcular los valores de N_x , se planteará el equilibrio en el elemento diferencial de forma que observando la figura tenemos, siendo la carga P vertical (no produce componente en esa dirección): $\partial N_x \delta s + \partial N_{x\varphi} \delta x = 0$.



Sustituyendo los valores de ∂N_x y $\partial N_{x\varphi}$ por su crecimiento por unidad de longitud:

$\partial N_x = \partial N_x \delta x / \delta x$ y $\partial N_{x\varphi} = \partial N_{x\varphi} \delta s / \delta s$ queda:

$\partial N_x / \delta x + \partial N_{x\varphi} / \delta s = 0$, expresión que refleja el incremento unitario de las tensiones en el eje x . Despejando $\partial N_x / \delta x$ e integrando dicha expresión:

$N_x = (3/c) \cdot Px^2/2 + C_2(\varphi)$, donde $C_2(\varphi)$ es una constante de integración que, para $x = \pm 8 \rightarrow N_x = 0 = 3P \cdot 8^2/2 + C_2(\varphi)$ y, por tanto $C_2(\varphi) = -16P$.

α	x	y	φ	N_ρ	N_φ	$N_{x\varphi} = 3t_x \cdot \sin \varphi + C_1(\varphi); t_x = -P \cdot x$					$N_x = 3m_x / c + C_2(\varphi); m_x = Px^2/2$					c	$\rho = c \cdot \cos \varphi$
						8	4	0	-4	-8	0	± 2	± 4	± 6	± 8		
0	0	0	0	-2.5	-15	0	0	0	0	0						6	
$\pi/6$	1.53	0.2	-14.57	-2.42	-14.1	15.1	7.55	0	-7.55	-15.1						5.80	
$\pi/3$	2.86	0.75	-29.68	-2.17	-11.32	29.7	14.85	0	-14.85	-29.7						5.213	
$\pi/2$	3.85	1.5	-45	-1.76	-7.5	42.4	21.21	0	-21.21	-42.4	-40	-37.5	-30	-17.5	0	6	4.243
$4\pi/6$	4.44	2.25	-59.97	-1.25	-3.76	51.9	25.97	0	-51.9	-25.97							3.003
$5\pi/6$	4.67	2.79	-75	-0.65	-1.005	57.96	28.98	0	-28.98	-57.96							1.55
$\pi=180$	4.71	3	-90	0	0	60	30	0	-30	-60							0

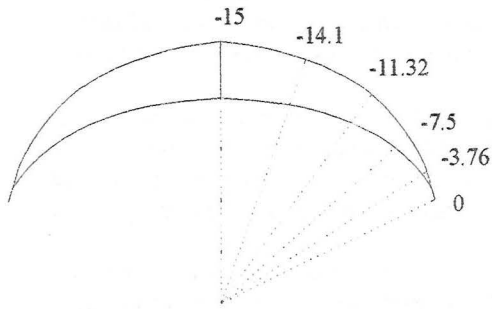


Diagrama N_φ.

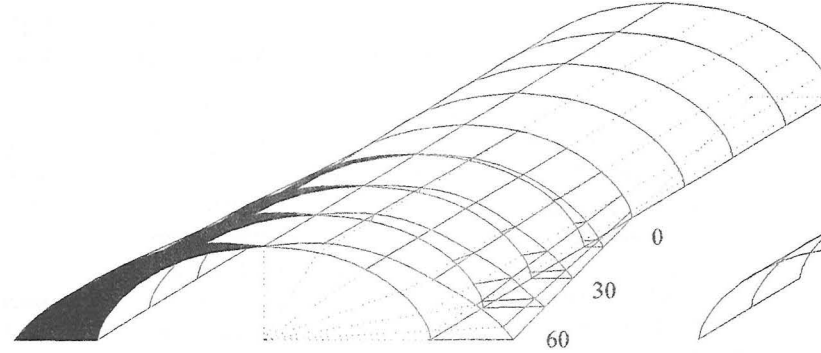


Diagrama $N_{x\varphi}$.

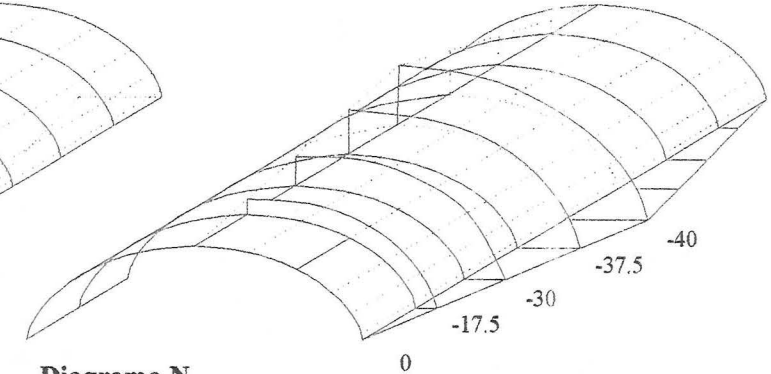
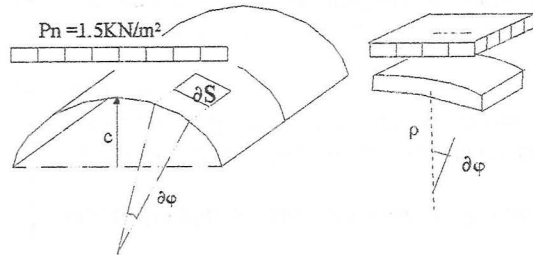


Diagrama N_x.

Estado de carga 2: carga debida a sobrecarga de nieve $P_n = 1.5\text{KN/m}^2$.
El análisis se realiza siguiendo el planteamiento expuesto para la hipótesis de carga de peso propio, teniendo en cuenta que a diferencia del caso anterior en el que la carga se distribuye



en la dirección perpendicular a la directriz en cada punto, para el caso de nieve hay que proyectar la carga sobre dicha dirección, de manera que la proyección de la carga sobre la directriz suponiendo un elemento diferencial es $P_n \cos \varphi \, dx \, ds$.

Por tanto, las ecuaciones serán las obtenidas para el caso anterior, teniendo en cuenta que, si antes no existía componente horizontal de la carga (ya que ésta era perpendicular a la directriz), para el caso de nieve tenemos:

componente perpendicular de la carga = P_c
componente tangencial de la carga = $P_c \cos \varphi$

Tabla de valores obtenidos para sobrecarga de nieve=1.5kN/m².

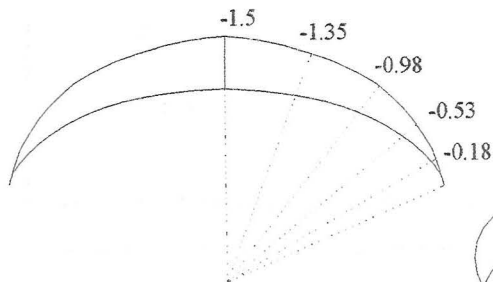
[illegible]

Diagrama №.

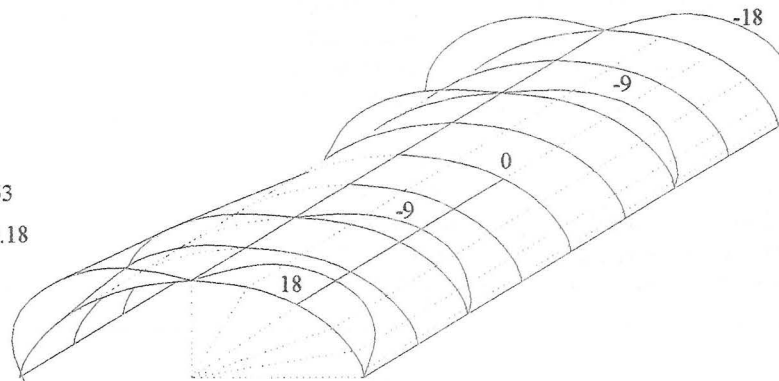


Diagrama Nxφ.

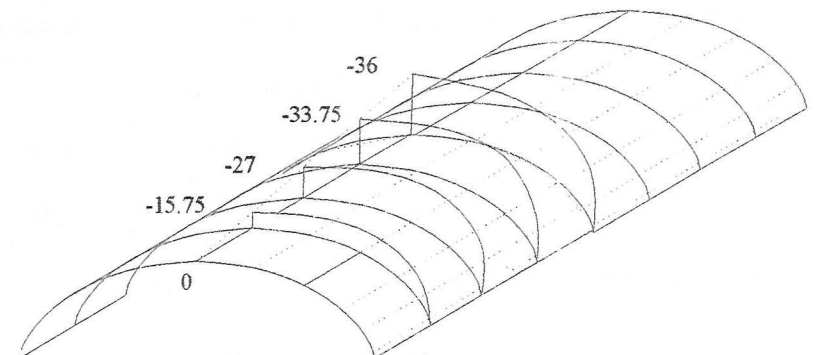
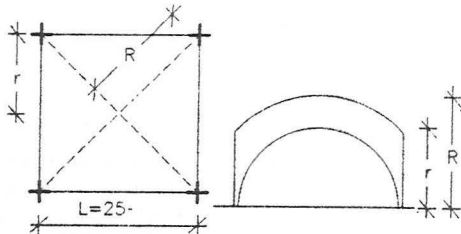


Diagrama Nx.



Definición geométrica con Autocad 3D.-



Discretización paralela a las líneas de contorno:

Se dibuja el cuadrado proyección de la cúpula, cuyo lado sea de 25 m. Se traza la circunferencia que pasa por sus esquinas.

Se dibujan las circunferencias contenidas en planos verticales que pasan por los lados del cuadrado, de radio 12,5 m.

Para definir la octava parte de la superficie de la cúpula, en la que vamos a trabajar, se traza el meridiano que pasa por los vértices opuestos del cuadrado y centro, el centro de éste ($R=17,68$ m.); se traza el meridiano situado a 45° del anterior, hasta que corte al círculo paralelo de borde de $r=12,5$ m. en su punto mas alto.

Con el contorno exterior de la octava parte de la superficie, limitada entre dos de sus plano de simetría, se puede proceder a formar un apoyo que no sea puntual: se "estira" el círculo de paralelo, por ejemplo 0,5 m.

Se divide la superficie a partir del dibujo de superficies definidas por cuatro lados: seleccionando los 4 límites (los dos arcos de meridiano, el arco de paralelo y el apoyo estirado), se divide automáticamente por defecto, en este caso en 6 partes cada límite.

Si se tiene decidida otra división que se considera mas apropiada, por ejemplo, lados largos en 10 partes, cortos en 6, modificar variables surftab1 y surftab2 en 6 y 10 respectivamente. Seleccionar los cuatro límites y se divide con éstas condiciones.

La división obtenida está hecha con polilíneas curvas, por lo que la superficie sigue siendo continua. El programa de cálculo entiende la superficie aproximada por facetas. Para transformarlo, se selecciona todo y se "explota", pasando a estar definido como si se hubiera empleado la orden 3Dcaras en su dibujo. Pasar todas las "facetas" a la capa SAP_SHELLS. Nombrar el archivo y salvarlo como DXF (mejor en la versión mas baja de Autocad que se pueda permitir).

Discretización en meridianos y paralelos:

Con los límites dibujados, dividir el radio vertical en un número de partes (p.e.:10); esto crea arcos desiguales: interpolar divisiones adicionales en la parte superior. Por cada punto de división dibujar los paralelos, recortando la parte que sobresale de los límites.

Trazar los meridianos que dividen el sector (p.e.5) y recortamos la parte que queda fuera de nuestra superficie. Se tiene una superficie curva dividida por polilíneas curvas con puntos de intersección. Cada recuadro de la división se convertirá en una 3dcaras. Para ello, con la orden del mismo nombre señalaremos los vértices de la superficie dividida, siempre en sentido horario. Iremos recuadro por recuadro. Una vez creadas, pasaremos todas las "facetas" 3dcaras a una capa nueva que llamaremos SAP_SHELLS. Archivar como DXF.

Manipulación del archivo para que pueda ser leído por la versión educativa.-

Editar el archivo, por ejemplo en MS DOS: C:> edit arch.DXF. Buscar "entities". Seleccionar las líneas desde el inicio hasta el 0 de la secuencia:

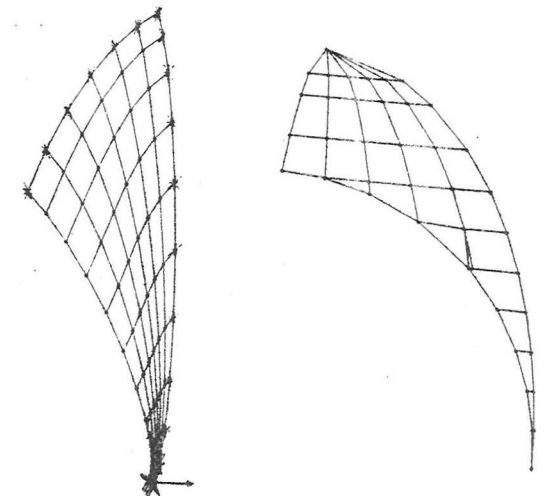
0
section
nº
entities...

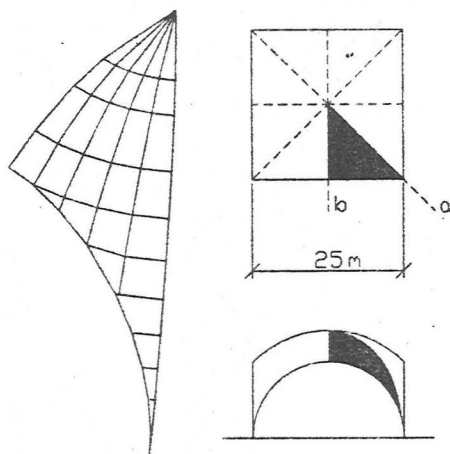
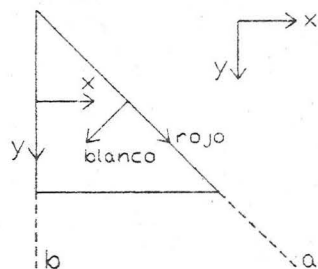
Borrar las líneas seleccionadas y guardar.

O bien, seleccionar desde el 0 de la secuencia hasta el final. Copiar. Crear archivo nuevo. Pegar.

Dentro del programa de cálculo, importar el archivo DXF, seleccionando el eje vertical del dibujo y las unidades en que fue dibujado.

A continuación, lo más practico es cambiar los ejes generales a un punto cómodo que elijamos. Leer las coordenadas de ese nudo, o deducirlas si se trata de un punto que no se corresponde con un nudo, y hacer un cambio de sistema : Options. Set cocordinate system. Add... Advanced. Coordenadas del punto elegido.





Apoyos:

Apoyo: articulación U1, U2, U3

Condiciones de simetría en el plano "a": U2, R1, R3

Condiciones de simetría en el plano "b": U1, R2, R3

Condiciones de simetría en la clave: U1, U2, R1, R2, R3

Secciones:

Las secciones son variables, partiendo de un espesor en el apoyo de 0.35m; seguidamente el espesor disminuye a 0.2m, para aligerarse a su vez en la zona superior hasta un espesor de 0.05m (sólo aquí se comporta como lámina).

Por otro lado, a lo largo del borde libre, el espesor de la sección toma un valor de 0.1m.

Cargas:

Estado 1: Peso propio: shell gravity loads $Z = -1 \text{ kn/m}^2$

Estado 2: Nieve: $Z = -0.8 \text{ kn/m}^2$

CÚPULA

1. COMPROBAR CONFIGURACIÓN REGIONAL.

2. ENTRAR PROGRAMA SAP 2000 EDUCATIONAL.

3. ELEGIR UNIDADES. (Kn, m)

4. GEOMETRÍA DE LA ESTRUCTURA.

En este ejemplo la geometría se importa de AutoCad como archivo. DXF (ver hoja explicativa)

5. CONDICIONES DE APOYO.

assign joint restraints

6. MATERIAL.

define materials

concrete

weight per unit volume	25
modulus of elasticity	2E7
poisson's ratio	0.1

7. SECCIONES.

define shell sections

sección nº 1:	
thickness: membrane	0.35
bending	0.35

type: shell

sección nº2:	
thickness: membrane	0.1
bending	0.1

type: shell

sección nº3:	
thickness: membrane	0.05
bending	0.05

sección nº4:	
thickness: membrane	0.2
bending	0.2

8. ESTADOS DE CARGA.

define static load cases

Peso propio	self weight multiplier	1
-------------	------------------------	---

Nieve	self weight multiplier	0
-------	------------------------	---

select all	(peso propio)
------------	-----------------

assign shell static loads gravity $Z = -1$

select all	(nieve)
------------	-----------

assign shell static loads uniform $Z = -0.8$

9. PLANOS DE SIMETRÍA

Los ejes globales de estructura que se importan desde AutoCad 14 gobiernan la misma, es decir, que para definir la simetría del plano "b" habrá que guiarse por ellos, ya que "b" es coplanario a "yz", y por consiguiente, los ejes de punto coinciden con los globales de estruct. Sin embargo, en el caso del plano "a", debemos modificar el sentido de los ejes de punto, girándolos hasta conseguir que uno de ellos sea perpendicular al mismo plano de simetría "a". (ver figura)

9.1. GIRO DE EJES

assign

joint

local axes

rotations in degrees

En nuestro caso $Z = 45^\circ$

10. ANALISIS.

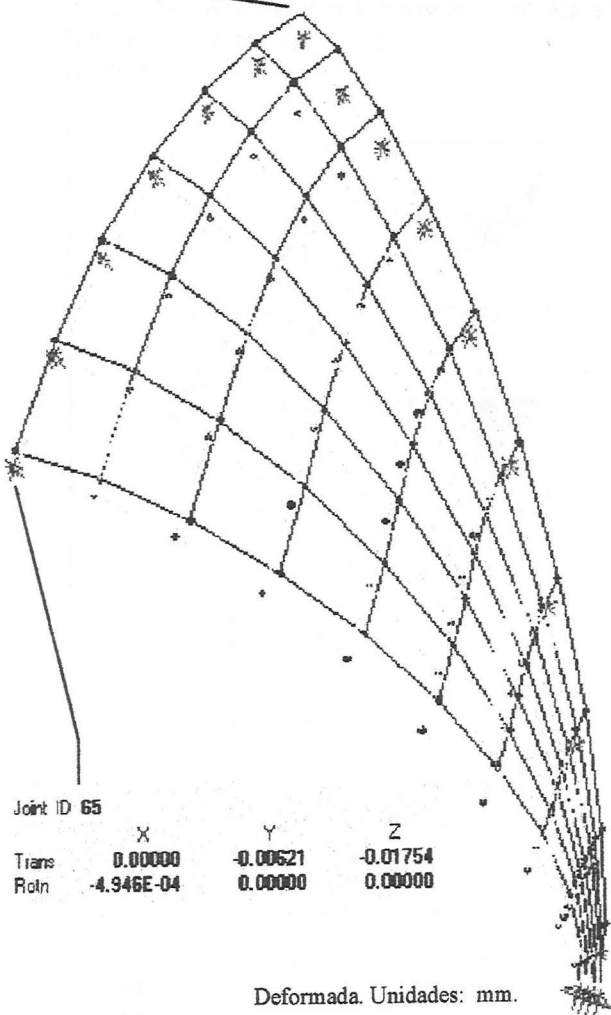
run analysis



Estado de carga: Peso propio = $1 \text{ KN} / \text{m}^2$

Joint ID 1

	X	Y	Z
Trans	0.00000	0.00000	-0.02348
Rotn	0.00000	0.00000	0.00000



Joint ID 65

	X	Y	Z
Trans	0.00000	-0.00621	-0.01754
Rotn	-4.946E-04	0.00000	0.00000

Diagrama. F-11. Unidades: KN-m.



Diagrama. F-22. Unidades: KN-m.

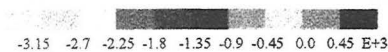


Diagrama. F-12. Unidades: KN-m.

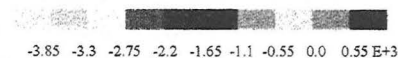


Diagrama. M-11. Unidades: KN-m.

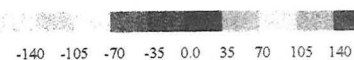


Diagrama. M-22. Unidades: KN-m.

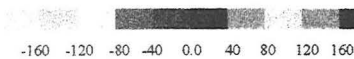
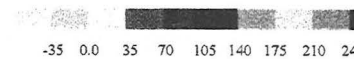


Diagrama. M-12. Unidades: KN-m.





Estado de carga: Nieve = 0.8 KN / m²

Joint ID 1			
Trans	X	Y	Z
Rotn	0.00000	0.00000	-0.00957
	0.00000	0.00000	0.00000

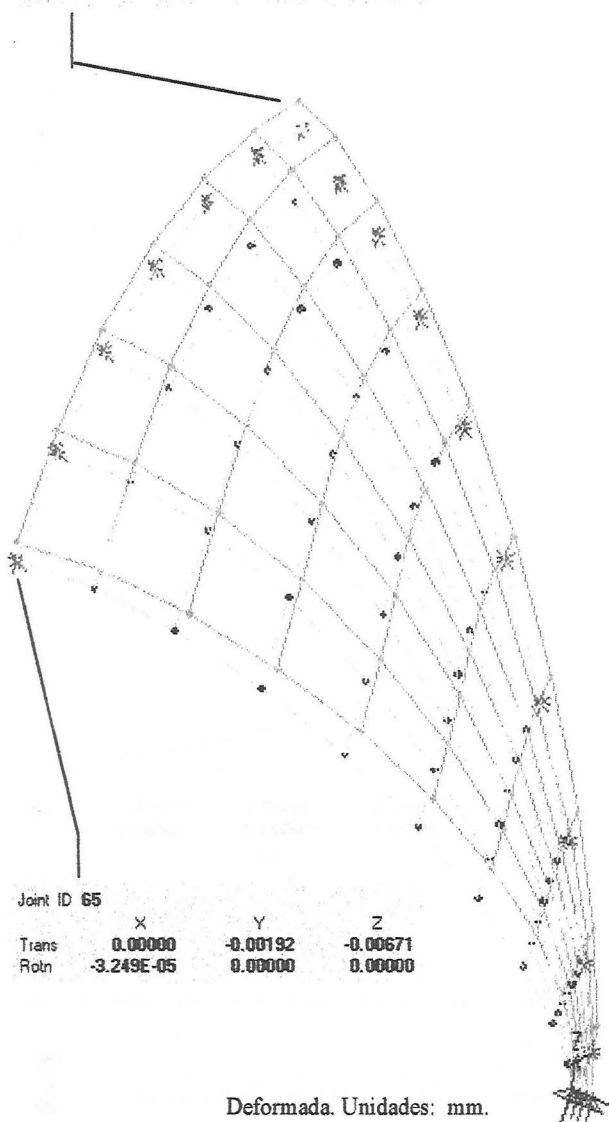


Diagrama. F-11. Unidades: KN-m.

-5.25 -4.5 -3.75 -3.0 -2.25 -1.5 -0.75 0.0 0.75 E+3

Diagrama. F-22. Unidades: KN-m.

-910 -780 -650 -520 -390 -260 -130 0.0 130

Diagrama. F-12. Unidades: KN-m.

-1.12 -0.96 -0.8 -0.64 -0.48 -0.32 -0.16 0.0 0.16 E+3

Diagrama. M-11. Unidades: KN-m.

36 37 18 0 0 0 18 37 36

Diagrama. M-22. Unidades: KN-m.

48 36 24 12 0 0 12 24 36 48

Diagrama. M-12. Unidades: KN-m.

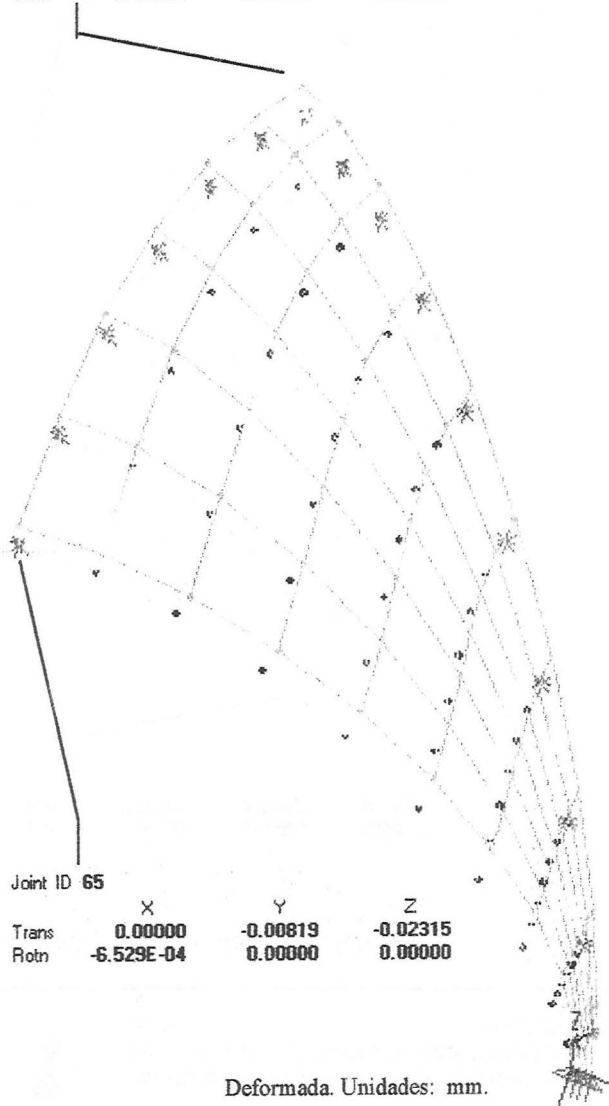
-18.2 -15.6 -13 -10.4 -7.8 -5.2 -2.6 0.0 2.6 E+3



Estado de carga: Peso propio + Nieve

Joint ID 1

	X	Y	Z
Trans	0.00000	0.00000	-0.03100
Rotn	0.00000	0.00000	0.00000



Joint ID 65

	X	Y	Z
Trans	0.00000	-0.00819	-0.02315
Rotn	-6.529E-04	0.00000	0.00000

Diagrama. F-11. Unidades: KN-m.

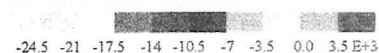


Diagrama. F-22. Unidades: KN-m.

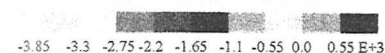


Diagrama. F-12. Unidades: KN-m.

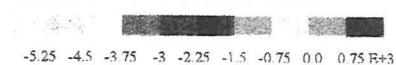


Diagrama. M-11. Unidades: KN-m.

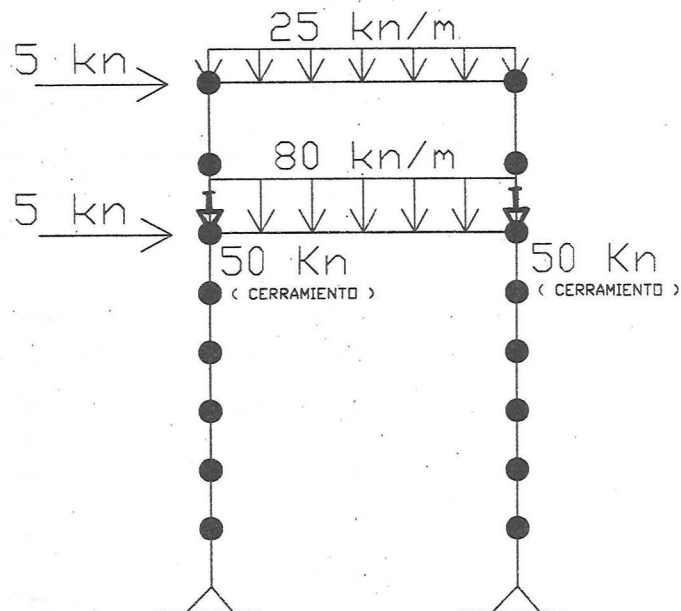


Diagrama. M-22. Unidades: KN-m.



Diagrama. M-12. Unidades: KN-m.





Apoyos: articulaciones

Predimensionado: soporte superior (S1): HEB 160
soporte inferior (S2): HEB 260
viga superior (V1): IPE 270
viga inferior (V2): IPE 450

P-DELTA

1. COMPROBAR CONFIGURACIÓN REGIONAL.

2. ENTRAR PROGRAMA SAP 2000 EDUCATIONAL.

3. ELEGIR UNIDADES. (Kn, m)

4. ABRIR ARCHIVO NUEVO.

En este ejemplo la definición del pórtico se explica de forma abreviada siendo tarea del usuario la elección de la red, las modificaciones que necesite, etc.

file
new model
cartesian
number of grid spaces
grid spacing
(definición de la red)

5. GEOMETRÍA DE LA ESTRUCTURA.

Los pilares se definen con puntos intermedios para aproximar más la solución
draw edit grid
(modificación de la red)
draw frame element

6. TIPO DE ENLACE ENTRE BARRAS.

Select all
assign
frame
releases (no releases)

7. CONDICIONES DE APOYO.

assign joint restraints

8. DEFINICIÓN DEL MATERIAL.

define
materials
steel
modify/ show material
modulus of elasticity 2. E8

9. SECCIONES.

Define

Frame

Sections

I/ Wide Flange	S1	S2	V1	V2
Outside height	0.16	0.26	0.27	0.45
Top flange width	0.16	0.26	0.135	0.19
Top flange thickness	0.013	0.0175	0.0102	0.0146
Web thickness	8 E-3	0.01	6.6 E-3	9.4 E-3
Bottom flange width	0.16	0.26	0.135	0.19
Bottom flange thickness	0.013	0.0175	0.0102	0.0146

Assign frame sections

(asignamos las secciones a las barras que correspondan)

10. ESTADOS DE CARGA

Define static load cases

Carga gravitatoria Self weight multiplier 0
Viento Self weight multiplier 0

11. ANALISIS.

analyze

set options

available DOFs

UX, UZ, RY

include P-Delta

set P-Delta parameters

maximum iterations

5

relative tolerance-displacements

5 E-4

relative tolerance-forces

1 E-3

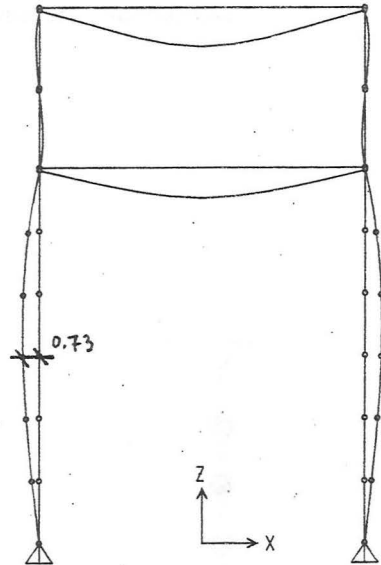
load case

carga gravitatoria

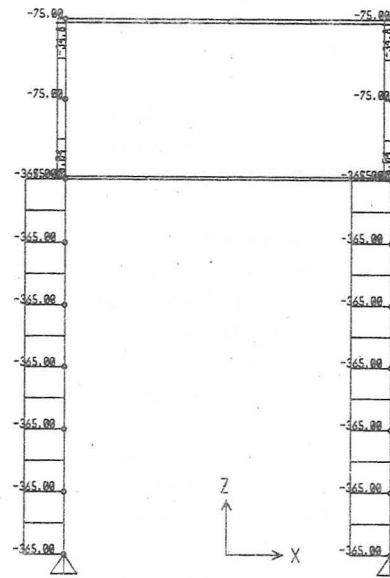
escale factor

1

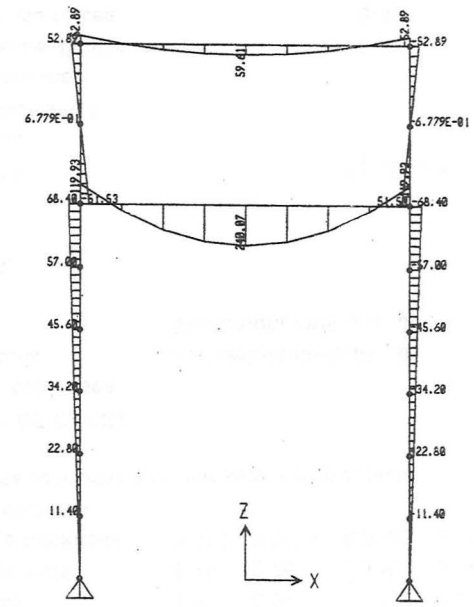
Run Analysis



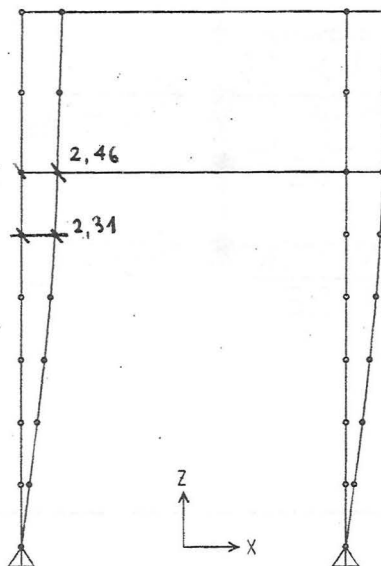
Deformada. Cargas gravitatorias. Sin P-delta. cm.



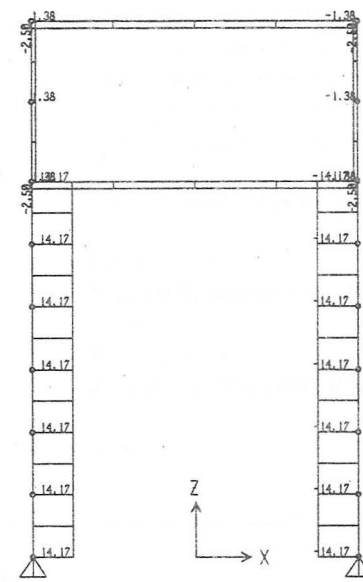
Normales. Cargas gravitatorias. Sin P-delta.



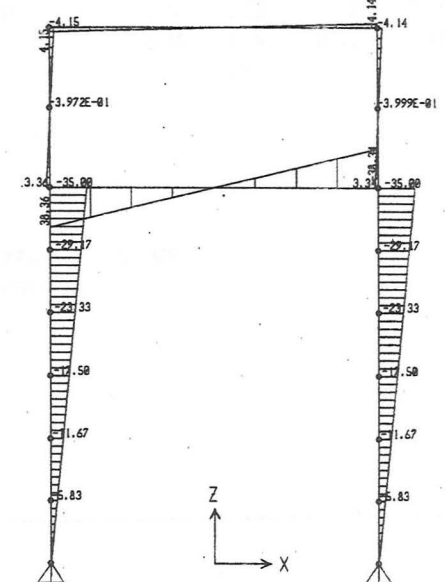
Momentos. Cargas gravitatorias. Sin P-delta.



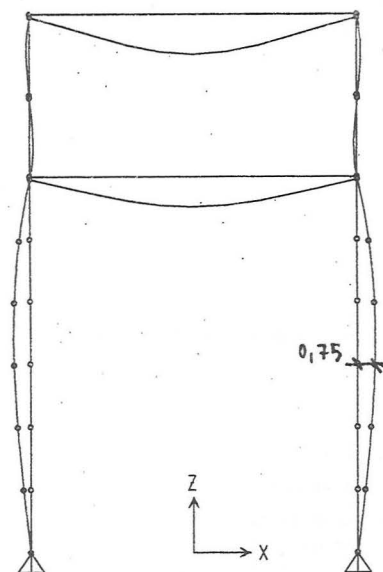
Deformada. Viento. Sin P-delta. cm.



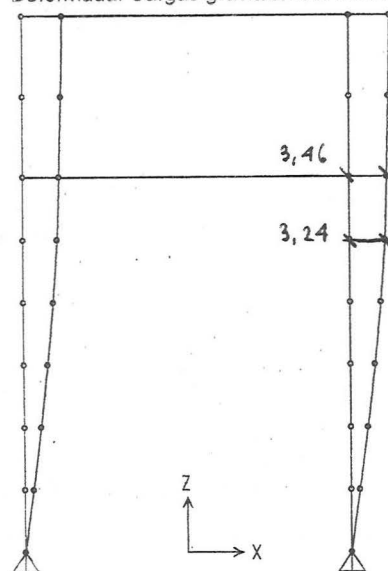
Normales. Viento. Sin P-delta.



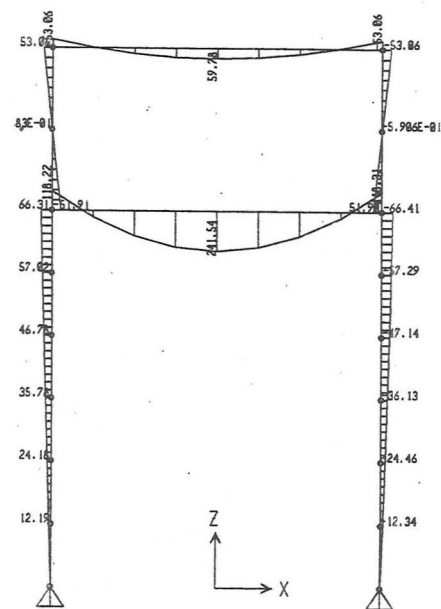
Momentos. Viento. Sin P-delta.



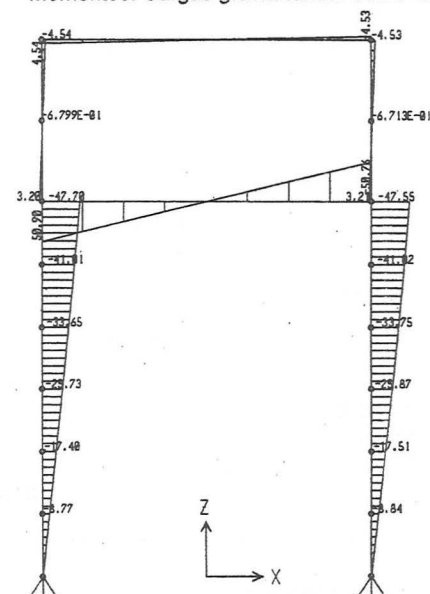
Deformada. Cargas gravitatorias. Con P-delta.



Deformada. Viento. Con P-delta.



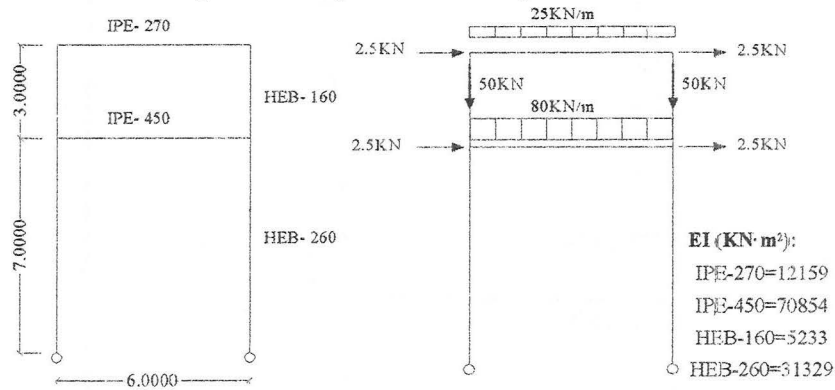
Momentos. Cargas gravitatorias. Con P-delta.



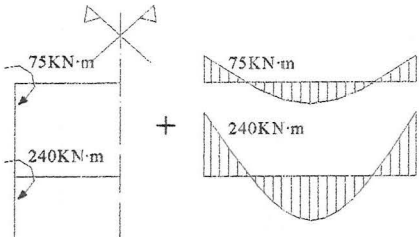
Momentos. Viento. Con P-delta.



1. Definición geométrica y estado de cargas.



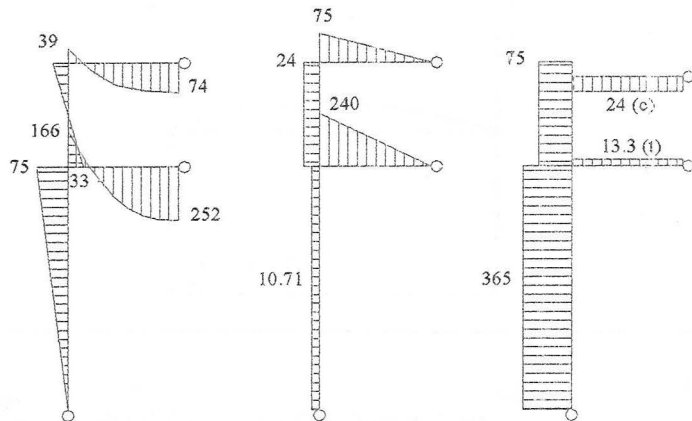
2. Análisis lineal para carga gravitatoria.



siendo el valor de los momentos de empotramiento $M = q \cdot L^2 / 12$ obteniendo los siguientes valores:

en vano superior $25 \cdot 6^2 / 12 = 75$
en vano inferior $80 \cdot 6^2 / 12 = 240$

De este análisis resultan los siguientes diagramas:

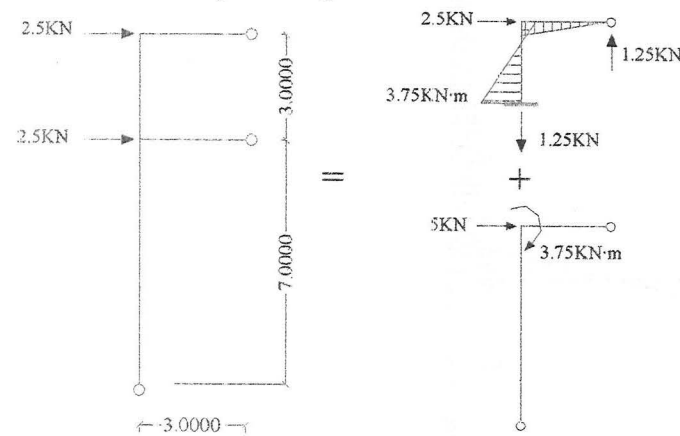


M. flectores. KN·m

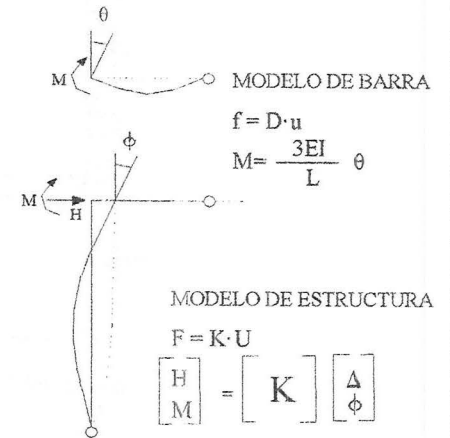
Cortantes. KN

Normales. KN

3. Análisis lineal para carga de viento.



Analizando sólo la parte inferior de la estructura, con barras 1 y 2:



Así, para las barras 1 y 2 tenemos las siguientes matrices:

BARRAS:

$$f = \begin{bmatrix} M_1 \\ M_2 \end{bmatrix} = \begin{bmatrix} 13.427 & 0 \\ 0 & 70.854 \end{bmatrix} \begin{bmatrix} \theta_1 \\ \theta_2 \end{bmatrix}$$

COMPATIBILIDAD:

$$u = \begin{bmatrix} \theta_1 \\ \theta_2 \end{bmatrix} = \begin{bmatrix} -1/7 & 1 \\ 0 & 1 \end{bmatrix} \begin{bmatrix} \Delta \\ \phi \end{bmatrix}$$

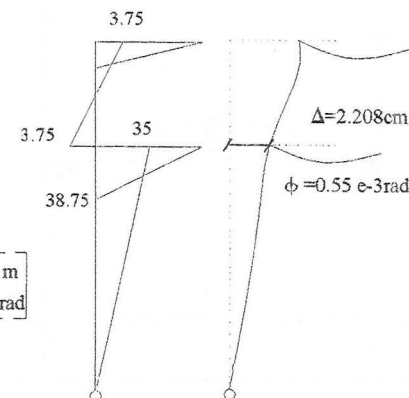
de manera que la matriz de la estructura será:

MATRIZ DE LA ESTRUCTURA

$$u = \begin{bmatrix} \theta_1 \\ \theta_2 \end{bmatrix} = \begin{bmatrix} -1/7 & 1 \\ 0 & 1 \end{bmatrix} \begin{bmatrix} \Delta \\ \phi \end{bmatrix}$$

$$F = K U; \text{cargas } F = \begin{bmatrix} H \\ M \end{bmatrix} = \begin{bmatrix} 5 \\ 3.75 \end{bmatrix}$$

$$U = K^{-1} F; \text{desplazamientos } U = \begin{bmatrix} 22.08 \\ 0.55 \end{bmatrix} \begin{matrix} \text{m} \\ \text{rad} \end{matrix}$$



ESFUERZOS EN BARRAS:

$$f = D \cdot u = DBU = \begin{bmatrix} -35 \\ 38.75 \end{bmatrix}$$

Del análisis lineal se obtiene un desplazamiento $\Delta=2.208\text{cm}$ para $H=5\text{KN}$, lo que supone una rigidez:

$$K = \frac{H}{\Delta} = \frac{5}{0.02208} = 226.5\text{KN/m}$$

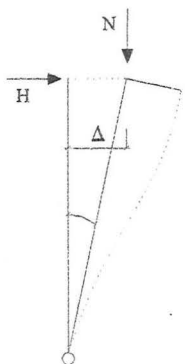
Comprobación de resultados con los obtenidos mediante SAP 2000.

$$\text{HEB-260: } EI/E'I' = 31329 / (199 \text{ e}6 \times 1435 \text{ e-4}) = 1097; 2.208\text{cm} \times 1097 = 2.42\text{cm.}$$

$$\text{Resultado de programa SAP 2000} = 2.46\text{cm.}$$



4. Primera aproximación: efecto de la deformación en la carga.



Carga horizontal: (trabajo con $\Delta=1$ desde desplomada)

$$Q = H + N\varphi$$

Respuesta: según rigidez

$$R = K \Delta$$

SITUACIÓN CRÍTICA (CARGA CRÍTICA) CUANDO $H=0$ ($\varphi_H=0$) y $N_K \varphi = K \Delta$

$$N_K = K \Delta / \varphi = K L = 1585 \text{ KN}$$

SITUACIÓN DE EQUILIBRIO CON VIENTO (CARGA = RESPUESTA)

$$Q = R \longrightarrow H + N\varphi = K \Delta$$

$$K \Delta_H + N\varphi = K \Delta$$

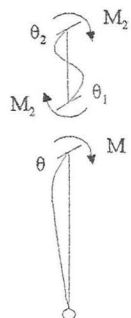
$$N_K \Delta_H / L + N\varphi = N_K \Delta / L$$

$$\Delta = \Delta_H \frac{1}{1 - \frac{N}{N_K}} = 2.2 \frac{1}{1 - \frac{365}{1585}} = 2.86 \quad (\text{proceso de ampliación de flecha en } 2^\circ \text{ orden.})$$

Es insuficiente al no considerar la pérdida de rigidez en barras por efecto del normal.

5. Segunda aproximación: efecto de la carga en la rigidez a flexión.

$$\begin{bmatrix} 2.75 & -1 \\ -1 & 2.75 \end{bmatrix}$$



$$K = \frac{EI}{L} \begin{bmatrix} 4 & 2 \\ 2 & 4 \end{bmatrix} - \frac{3EI}{L} \begin{bmatrix} 2.75 & -1 \\ -1 & 2.75 \end{bmatrix}$$

$$K = \frac{EI}{L} \begin{bmatrix} 3 \\ 3 \end{bmatrix} - \frac{NL}{15} \begin{bmatrix} 6.5 \end{bmatrix}$$

El pilar tiene $N = 365 \text{ KN}$; despreciando el valor del axil en la viga.

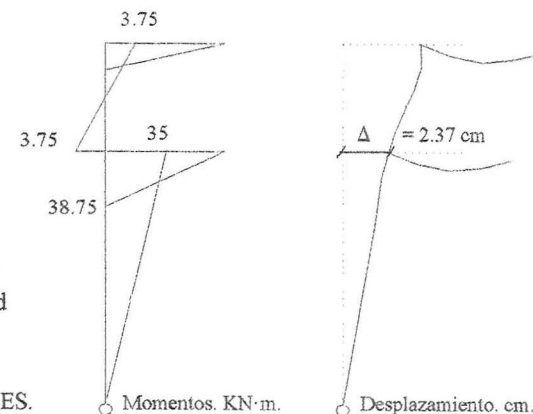
5.1. RIGIDEZ (vista desde las barras):

$$K = \begin{bmatrix} 13427 & 0 \\ 0 & 70854 \end{bmatrix} - \begin{bmatrix} 1.107 & 0 \\ 0 & 0 \end{bmatrix}$$

$$\text{Estructura: } B^T DB = K = \begin{bmatrix} 251.4 & -1760 \\ -1760 & 83174 \end{bmatrix}$$

$$F = \begin{bmatrix} 5 \\ 3.75 \end{bmatrix} \longrightarrow U = K^{-1} F = \begin{bmatrix} 23.7 \\ 0.55 \end{bmatrix} \text{ e-3 } \begin{matrix} \text{m} \\ \text{rad} \end{matrix}$$

VALORES INICIALES.



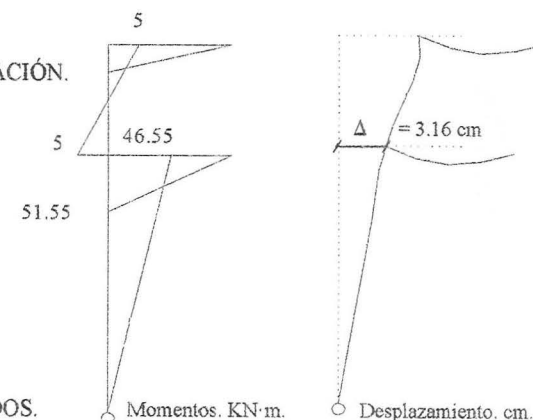
5.2. NUEVO CÁLCULO DE AMPLIFICACIÓN.

$$K = H / \Delta = 5 / 0.0237 = 210 \text{ KN/m}$$

$$N_K = K \cdot L = 1470 \text{ KN}$$

$$\Delta = \frac{1}{1 - \frac{N}{N_K}} = \frac{1}{1 - \frac{365}{1470}} = 1.33$$

VALORES AMPLIFICADOS.



Comprobación de resultados con los obtenidos mediante SAP 2000.

$$\text{HEB-260: } EI / E^* I^* = 31329 / (199 \cdot e6 \times 1435 \cdot e-4) = 1097; \quad 3.16 \text{ cm} \times 1097 = 3.46 \text{ cm.}$$

$$\text{Resultado de programa SAP 2000} = 3.46 \text{ cm.}$$

Otro modo de aproximación de $N_K \longrightarrow \delta$.

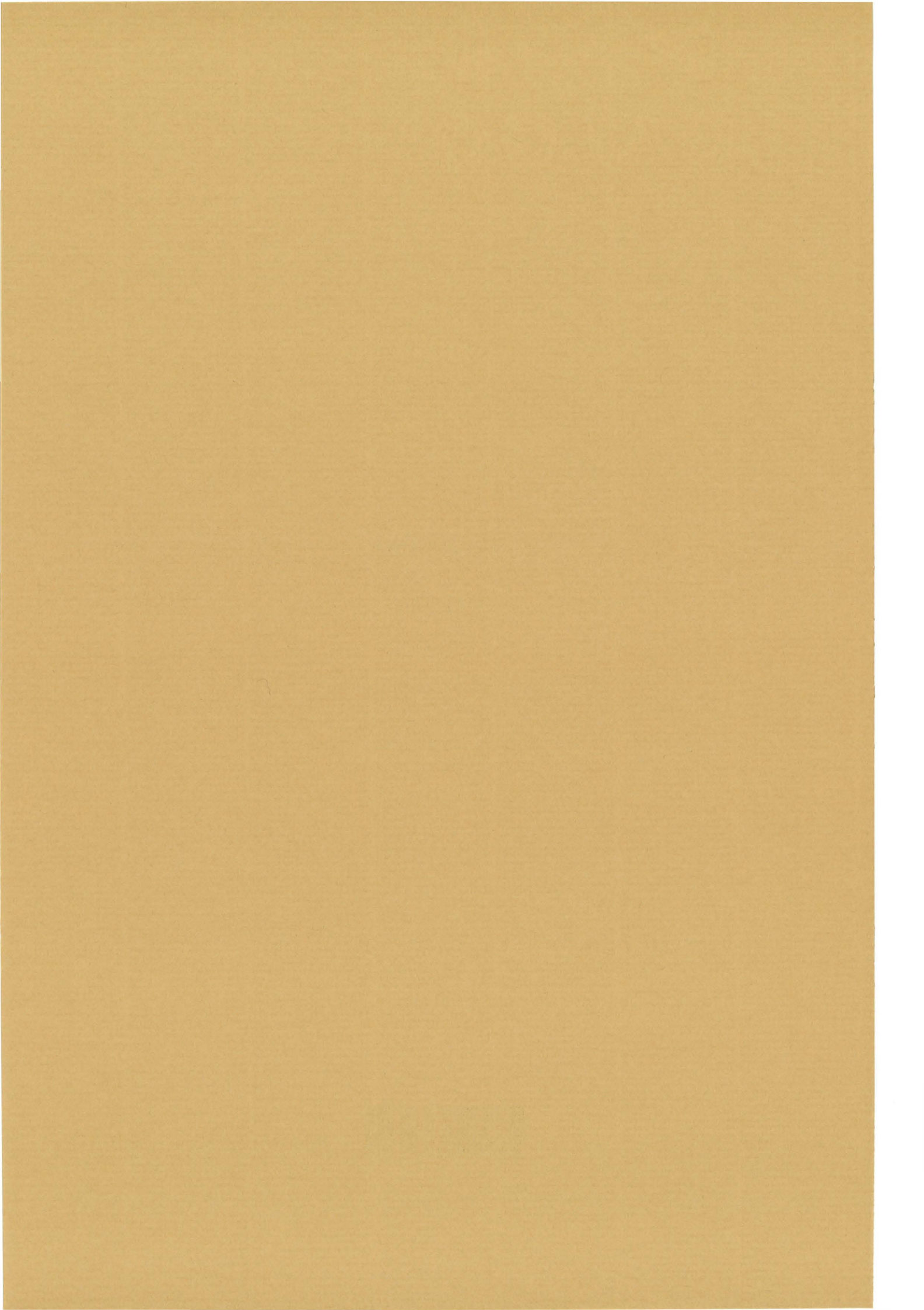
$$\left\{ \begin{bmatrix} 274 & -1918 \\ -1918 & 84281 \end{bmatrix} - B^T \begin{bmatrix} 6.5 & 0 \\ 0 & 0 \end{bmatrix} \frac{N_K}{15} B \right\} \begin{bmatrix} \Delta \\ \phi \end{bmatrix} = \begin{bmatrix} N_K \Delta / L \\ 0 \end{bmatrix} \text{ como } \begin{bmatrix} N_K \Delta / L \\ 0 \end{bmatrix} = \begin{bmatrix} N_K / L & 0 \\ 0 & 0 \end{bmatrix} \begin{bmatrix} \Delta \\ \phi \end{bmatrix}$$

Basta que la matriz sea singular

$$\begin{bmatrix} 274 & -1918 \\ -1918 & 84281 \end{bmatrix} - N_K \left\{ \begin{bmatrix} 0.0619 & -0.433 \\ -0.433 & 3.033 \end{bmatrix} + \begin{bmatrix} 1/7 & 0 \\ 0 & 0 \end{bmatrix} \right\} \text{ resulta } N_K = 1221 \text{ KN.}$$

$$\alpha = 1.426, \text{ que con } \Delta_{\text{inicial}} = 2.208 \text{ se obtiene } \Delta = \Delta_{\text{inicial}} \cdot \alpha = 2.208 \times 1.426 = 3.15 \text{ cm} \approx \text{solución anterior.}$$

NOTAS



CUADERNO

89.01

CATÁLOGO Y PEDIDOS EN

<http://www.aq.upm.es/of/jherrera>
jherrera@aq.upm.es

